

4 ТРИФАЗНІ КОЛА

4.1 ОСНОВНІ ТЕОРЕТИЧНІ ПОЛОЖЕННЯ

Теорія трифазних систем починається з розгляду понять: *симетричні системи ЕРС*, напруг, струмів; *несиметричні системи ЕРС*, напруг, струмів.

Короткий перелік назв ЕРС, напруг, струмів наступний:

- фазні ЕРС E_A, E_B, E_C , які відповідають фазам генератора AX, BY, CZ ;
- фазні струми I_{AB}, I_{BC}, I_{CA} ;
- фазні напруги U_A, U_B, U_C ;
- лінійні напруги U_{AB}, U_{BC}, U_{CA} ;
- лінійні струми I_A, I_B, I_C ;
- струм нейтралі (нульового проводу) I_N ;
- напруга зміщення нейтралі U_N або U_{O_1O} (між нульовими точками генератора і приймача).

Відповідно, розрізняють активні, реактивні, повні потужності фаз $P_A, P_B, P_C, Q_A, Q_B, Q_C, S_A, S_B, S_C$, а також активну P , реактивну Q і повну S потужності трифазних приймачів (або генератора), причому

$$P = P_A + P_B + P_C, \text{ Вт}; \quad Q = Q_A + Q_B + Q_C, \text{ вар}; \quad S = \sqrt{P^2 + Q^2}, \text{ ВА}.$$

Трифазні кола із *статичним навантаженням*, тобто такі, що не містять електродвигунів, трансформаторів і інших активних елементів, розраховуються, як правило, комплексним методом. Їх розрахунок зазвичай супроводжується побудовою векторних або топографічних діаграм, які допомагають запобігти можливих помилок в аналітичних розрахунках, роблять усі співвідношення наочнішими.

Якщо в трифазній системі є пристрой, опори фаз яких залежать від послідовності чергування фаз струмів (трифазні тристрижневі трансформатори, асинхронні або синхронні електродвигуни або генератори, або хоч би один з таких пристройів, потужність якого порівняна з потужністю всієї трифазної системи), то для розрахунку несиметричного режиму таких трифазних кіл застосовують спеціальний метод розрахунку – *метод симетричних складових*, який по своїй суті є різновидом методу накладання.

4.2 РОЗРАХУНОК СИМЕТРИЧНИХ ТРИФАЗНИХ КІЛ

Розрахунок симетричних трифазних кіл зводиться до розрахунку однієї фази за однолінійною еквівалентною схемою. У двох інших фазах будуть такі ж за величиною струми і напруги, як в першій, але зсунені за фазою на кут 120° .

ЗАДАЧА 4.1. До симетричного трифазного джерела напругою $U=380\text{ В}$ увімкнений симетричний приймач, фази якого з'єднані в «зірку» (рис. 4.1,а), опори фаз $r = 12\text{ Ом}$, $x = 16\text{ Ом}$.

Знайти покази приладів, побудувати векторну діаграму кола.

Розв'язання

Коли говорять про напругу трифазного кола, мають на увазі лінійну напругу мережі (за умовчанням). Якщо задається фазна напруга, то це підкреслюється спеціально.

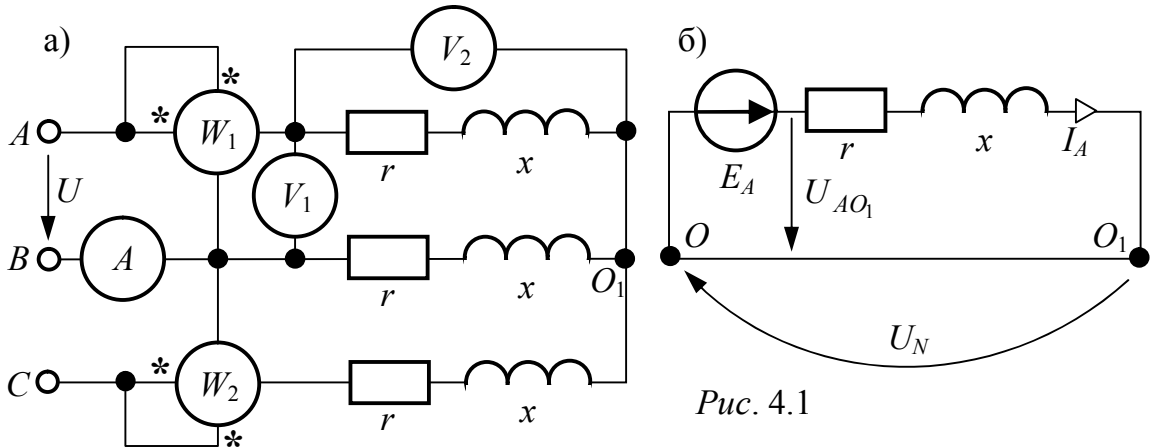


Рис. 4.1

В умовах нашої задачі напруга мережі $U = 380 \text{ В}$, причому за умови симетрії $U_{AB} = U_{BC} = U_{CA} = U = 380 \text{ В}$.

Фазні напруги менші за лінійні у $\sqrt{3}$ разів:

$$U_A = U_B = U_C = U / \sqrt{3} = 380 / \sqrt{3} = 220 \text{ В.}$$

Зауважимо, що фази генератора за умовчанням сполучені в зірку, тоді фазні ЕРС генератора $E_A = E_B = E_C = U_\phi = 220 \text{ В}$.

У симетричній системі „зірка”-„зірка” напруга $U_N = 0$ і розрахунок стану кола можна вести за схемою заміщення для однієї фази (рис. 4.1,б).

Приймемо $E_A = 220 \text{ В}$, тоді струм в схемі заміщення

$$I_A = \frac{E_A - U_N}{Z_A} = \frac{220}{12 + j16} = 11 \cdot e^{-j53,13^\circ} A,$$

причому фазна напруга приймача $U_{AO_1} = E_A - U_N = E_A = U_A$.

Результати розрахунку режиму роботи решти фаз (B і C) запишемо на підставі поняття про симетричну трифазну систему прямого порядку чергування фаз $E_B = U_{BO_1} = U_B = E_A \cdot e^{-j120^\circ} = 220 \cdot e^{-j120^\circ} \text{ В};$

$$E_C = U_{CO_1} = U_C = E_A \cdot e^{j120^\circ} = 220 \cdot e^{j120^\circ} \text{ В};$$

аналогічно для струмів $I_B = I_A \cdot e^{-j120^\circ} = 11 \cdot e^{-j173,13^\circ} A;$

$$I_C = I_A \cdot e^{j120^\circ} = 11 \cdot e^{j66,87^\circ} A.$$

Векторна діаграма кола наведена на рис. 4.2, для якої потенціал нульової точки генератора, обмотки якого з’єднані в «зірку», $\varphi_O = 0$ (рис. 4.1,б). $\varphi_A = E_A = 220 \text{ В}; \quad \varphi_B = 220 \cdot e^{-j120^\circ} \text{ В}; \quad \varphi_C = 220 \cdot e^{j120^\circ} \text{ В}; \quad \varphi_{O_1} = \varphi_O + U_N = 0;$

$$U_{AO} = \varphi_A - \varphi_O = E_A = U_{AO_1} = \varphi_A - \varphi_{O_1} = U_A = 220 \text{ В};$$

$$\text{аналогічно } U_B = \varphi_B - \varphi_O = 220 \cdot e^{-j120^\circ} \text{ В}; \quad U_C = \varphi_C - \varphi_O = 220 \cdot e^{j120^\circ} \text{ В};$$

а струми фаз орієнтовані відносно своєї фазної напруги (зсунені на кут $\varphi = \arctg \frac{x}{r} = \arctg \frac{16}{12} = 53,13^\circ$).

Лінійні напруги: $U_{AB} = \varphi_A - \varphi_B = U_A \cdot \sqrt{3} \cdot e^{j30^\circ} = 380 \cdot e^{j30^\circ} \text{ В};$

$$U_{BC} = U_{AB} \cdot e^{-j120^\circ} = 380 \cdot e^{-j90^\circ} \text{ В};$$

$$U_{CA} = U_{AB} \cdot e^{j120^\circ} = 380 \cdot e^{j150^\circ} \text{ В.}$$

Напруга і струми котушок ватметрів:

$$\begin{aligned} \underline{U}_{W1} &= \underline{U}_{AB} = 380 \cdot e^{j30^\circ} B; \\ \underline{I}_{W1} &= I_A = 11 \cdot e^{-j53,13^\circ} A; \\ \underline{U}_{W2} &= -\underline{U}_{BC} = 380 \cdot e^{j90^\circ} B; \\ \underline{I}_{W2} &= I_C = 11 \cdot e^{j66,87^\circ} A. \end{aligned}$$

Покази приладів:

- амперметр A вимірює лінійний струм $I_B = 11 A$;
- вольтметр V_1 вимірює лінійну напругу $U_{AB} = 380 B$;
- вольтметр V_2 вимірює фазну напругу приймача $U_A = 220 B$;
- покази ватметрів:

$$\begin{aligned} P_{W1} &= \operatorname{Re}[\underline{U}_{W1} \cdot \underline{I}_{W1}^*] = \operatorname{Re}[\underline{U}_{AB} \cdot \underline{I}_A^*] = \\ &= U_{AB} \cdot I_A \cdot \cos(\varphi + 30^\circ) = \\ &= 380 \cdot 11 \cdot \cos(53,13^\circ + 30^\circ) = \\ &= 500 Bm; \end{aligned}$$

$$\begin{aligned} P_{W2} &= \operatorname{Re}[\underline{U}_{W2} \cdot \underline{I}_{W2}^*] = \operatorname{Re}[\underline{U}_{CB} \cdot \underline{I}_C^*] = \\ &= U_{CB} \cdot I_C \cdot \cos(\varphi - 30^\circ) = 380 \cdot 11 \cdot \cos(53,13^\circ - 30^\circ) = 3846 Bm. \end{aligned}$$

Звертаємо увагу на суму показів двох ватметрів:

$$\begin{aligned} P_{W1} + P_{W2} &= U \cdot I \cdot \cos(\varphi + 30^\circ) + U \cdot I \cdot \cos(\varphi - 30^\circ) = \\ &= U \cdot I \cdot \cos 30^\circ \cdot \cos \varphi - U \cdot I \cdot \sin 30^\circ \cdot \sin \varphi + U \cdot I \cdot \cos 30^\circ \cdot \cos \varphi + U \cdot I \cdot \sin 30^\circ \cdot \sin \varphi = \\ &= 2 \cdot U \cdot I \cdot \cos 30^\circ \cdot \cos \varphi = 2 \cdot U \cdot I \cdot \frac{\sqrt{3}}{2} \cdot \cos \varphi = \sqrt{3} \cdot U \cdot I \cdot \cos \varphi = P - \text{активна потуж-} \end{aligned}$$

ність симетричного приймача. У нашому прикладі

$$\sqrt{3} \cdot U \cdot I \cdot \cos \varphi = \sqrt{3} \cdot 380 \cdot 11 \cdot \cos(53,13^\circ) = 4346 = 500 + 3846 Bm.$$

ЗАДАЧА 4.2. Розрахувати симетричний режим з'єднання «зірка» (рис. 4.3), якщо

$r = 40 \Omega$, $x = 80 \Omega$, напруга мережі $U = 380 B$. Побудувати векторну діаграму кола.

Відповіді: $I_C = 2,46 A$;
 $U_B = 220 B$;
 $U_{BC} = 380 B$;
 $P_{W1} = -56 Bm$;
 $P_{W2} = 780 Bm$;
 $P_{W1} + P_{W2} = 3 \cdot I^2 \cdot r = 726 Bm$.

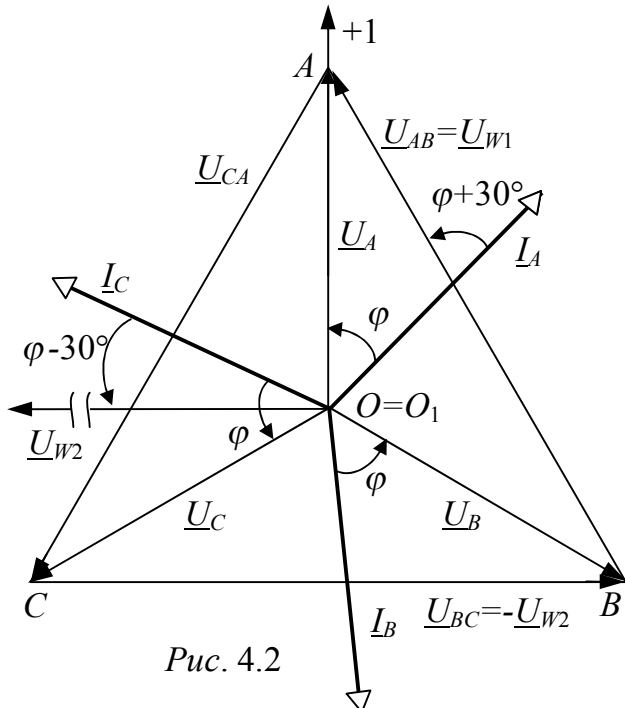


Рис. 4.2

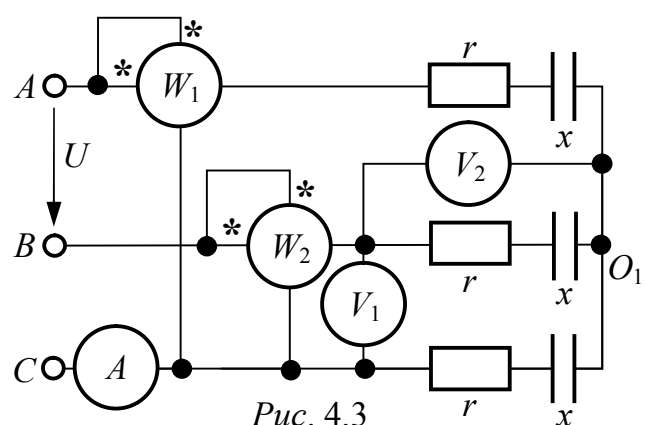


Рис. 4.3

ЗАДАЧА 4.3. Фази приймача задачі 4.2 з'єднані у трикутник (рис. 4.4). Розрахувати режим роботи схеми. Знайти відношення лінійних струмів I_Δ схеми рис. 4.4 до лінійних струмів I_Y рис. 4.3.

Розв'язання

При з'єднанні приймача у трикутник його лінійна напруга дорівнює фазній напрузі. Приймемо $\underline{U}_{AB} = U = 380 B$. Тоді

$$\underline{U}_{AB} = 380 \text{ } B; \quad \underline{U}_{BC} = 380 \cdot e^{-j120^\circ} \text{ } B; \quad \underline{U}_{CA} = 380 \cdot e^{j120^\circ} \text{ } B.$$

Фазні струми розрахуємо за законом Ома:

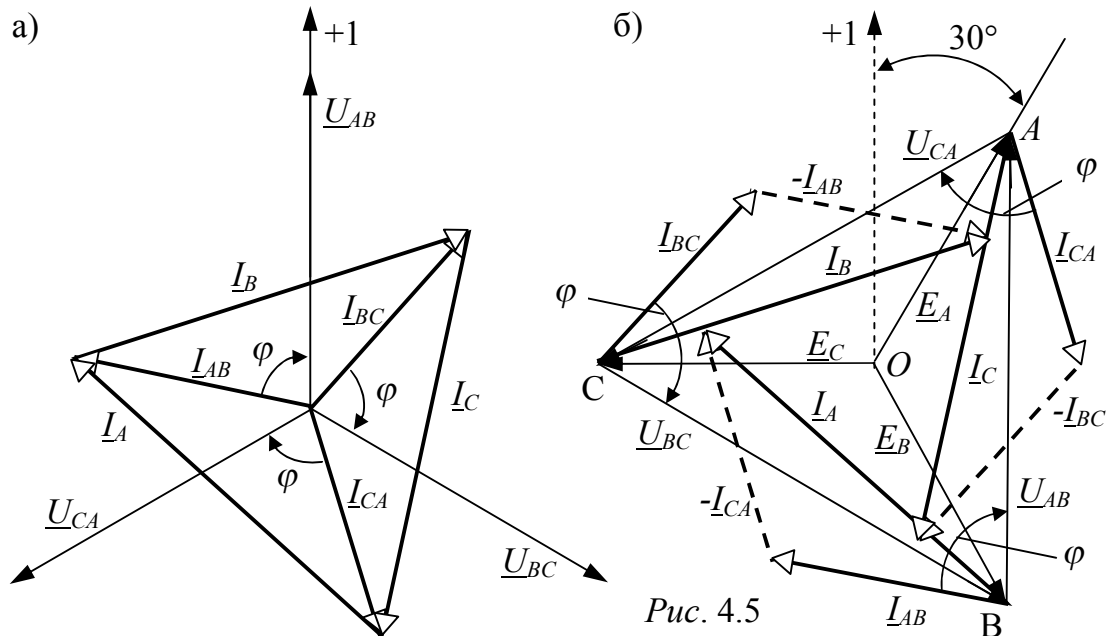
$$\underline{I}_{AB} = \frac{\underline{U}_{AB}}{Z} = \frac{380}{40 - j80} = 4,25 \cdot e^{j63,44^\circ} \text{ } A;$$

$$\underline{I}_{BC} = \frac{\underline{U}_{BC}}{Z} = \underline{I}_{AB} \cdot e^{-j120^\circ} = 4,25 \cdot e^{-j56,56^\circ} \text{ } A;$$

$$\underline{I}_{CA} = \frac{\underline{U}_{CA}}{Z} = \underline{I}_{AB} \cdot e^{j120^\circ} = 4,25 \cdot e^{j183,44^\circ} \text{ } A.$$

Лінійні струми знаходимо за першим законом Кірхгофа: $\underline{I}_A = \underline{I}_{AB} - \underline{I}_{BC} = \sqrt{3} \underline{I}_{AB} \cdot e^{-j30^\circ} = 7,36 \cdot e^{j33,44^\circ} \text{ } A$; $\underline{I}_B = \underline{I}_{BC} - \underline{I}_{AB} = \sqrt{3} \underline{I}_{BC} \cdot e^{-j30^\circ} = \underline{I}_A \cdot e^{-j120^\circ} = 7,36 \cdot e^{-j86,56^\circ} \text{ } A$; $\underline{I}_C = \underline{I}_{CA} - \underline{I}_{BC} = \sqrt{3} \underline{I}_{CA} \cdot e^{-j30^\circ} = \underline{I}_A \cdot e^{j120^\circ} = 7,36 \cdot e^{j153,44^\circ} \text{ } A$.

Векторну діаграму струмів та напруг з'єднання у трикутник будуємо так, щоб зручно було показувати співвідношення між лінійними і фазними струмами: з однієї точки побудуємо вектори фазної напруги трикутника (рис. 4.5, а), відносно їх зорієнтуємо фазні струми трикутника, а лінійні струми знайдемо відповідно до першого закону Кірхгофа. На підставі співвідношень між струмами, представленими на векторній діаграмі, можна наочно отримати записи вище співвідношення для розрахунку лінійних струмів.



Відмітимо, що при побудові векторної діаграми трикутника можна користуватися і традиційним способом побудови топографічної діаграми комплексних потенціалів (рис. 4.2), орієнтуючи фазні струми трикутника відносно лінійних напруг мережі, рівних фазним напругам трикутника, як це

показано на рис. 4.5,б. Проте, при такому способі побудови лінійних струмів необхідно переносити вектори фазних струмів із зворотним напрямом.

На підставі розрахунків запишемо покази амперметрів:

- лінійний струм $I_A = 7,36 A$ вимірюється амперметром A_1 ;
- фазний струм трикутника $I_{CA} = 4,25 A$ вимірюється амперметром A_2 .

При з'єднанні тих же опорів в зірку лінійні струми склали $I_Y = 2,46 A$ (задача 4.2). Таким чином, при переміканні фаз приймача із зірки на трикутник при однаковій напрузі мережі лінійний струм збільшується в

$$\frac{I_A}{I_Y} = \frac{7,36}{2,46} = 3 \text{ рази.}$$

Покази ватметрів в схемі рис. 4.4:

$$P_{W1} = \operatorname{Re}[U_{AC} \cdot I_A^*] = \operatorname{Re}[-380 \cdot e^{j120^\circ} \cdot 7,36 \cdot e^{-j33,44^\circ}] = -168 Bm;$$

$$P_{W2} = \operatorname{Re}[U_{BC} \cdot I_B^*] = \operatorname{Re}[380 \cdot e^{-j120^\circ} \cdot 7,36 \cdot e^{j86,56^\circ}] = 2334 Bm.$$

Сума показів двох ватметрів $P_{W1} + P_{W2} = 2167 Bm$ дорівнює активній потужності трифазного приймача

$$P = 3 \cdot I_\phi \cdot r_\phi = 3 \cdot 4,25^2 \cdot 40 = 2167 Bm.$$

ЗАДАЧА 4.4. Знайти покази приладів в схемі рис. 4.6,а, якщо

$$r = 76 \Omega, \quad x = 44 \Omega, \quad U = 380 V.$$

Розв'язання

Представимо схему заміщення даного симетричного трифазного кола для основної фази (A) (рис. 4.6,б) і визначимо її параметри:

- фазна напруга джерела живлення $U_A = \frac{U}{\sqrt{3}} = \frac{380}{\sqrt{3}} = 220 V$,

- опір фази еквівалентної трикутнику зірки $r_Y = \frac{r}{3} = \frac{76}{3} \Omega$.

Подальший розрахунок виконаємо в комплексній формі:

- фазний струм першого приймача, з'єднаного в зірку $I_{1A} = \frac{U_A}{jx} = \frac{220}{j44} = -j5 A$;

- лінійний струм трикутника $I_{2A} = \frac{U_A}{r_Y} = \frac{220 \cdot 3}{76} = \frac{380\sqrt{3}}{76} = 5\sqrt{3} A$.

Схема заміщення рис. 4.6,б не дозволяє розрахувати фазний струм симетричного трикутника, який менше ніж лінійний у $\sqrt{3}$ разів і не збігається з

ним за фазою (див. задачу 4.3): $I_{2AB} = \frac{I_{2A}}{\sqrt{3}} \cdot e^{j30^\circ} = \frac{5\sqrt{3}}{\sqrt{3}} \cdot e^{j30^\circ} = 5 \cdot e^{j30^\circ} A$;

$$I_{2BC} = I_{2AB} \cdot e^{-j120^\circ} = 5 \cdot e^{-j90^\circ} A;$$

$$I_{2CA} = I_{2AB} \cdot e^{j120^\circ} = 5 \cdot e^{j150^\circ} A.$$

Лінійний струм генератора $I_A = I_{1A} + I_{2A} = -j5 + 5\sqrt{3} = 10 \cdot e^{j30^\circ} A$,
струм струмової котушки ватметра $I_W = I_B = I_A \cdot e^{-j120^\circ} = 10 \cdot e^{-j150^\circ} A$.

Напруга на котушці ватметра $U_W = U_{AC} = \sqrt{3} U_A \cdot e^{-j30^\circ} = 380 \cdot e^{-j30^\circ} V$.

Показ ватметра $P_W = \operatorname{Re}[\underline{U}_W \cdot \underline{I}_W^*] = \operatorname{Re}[380 \cdot e^{-j30^\circ} \cdot 10 \cdot e^{j150^\circ}] = -1900 \text{ Bm}$.

Покази амперметрів: $A_1 \rightarrow I_{1A} = 5 \text{ A}$, $A_2 \rightarrow I_{2A} = 5\sqrt{3} \text{ A}$, $A_3 \rightarrow I_{2CA} = 5 \text{ A}$.

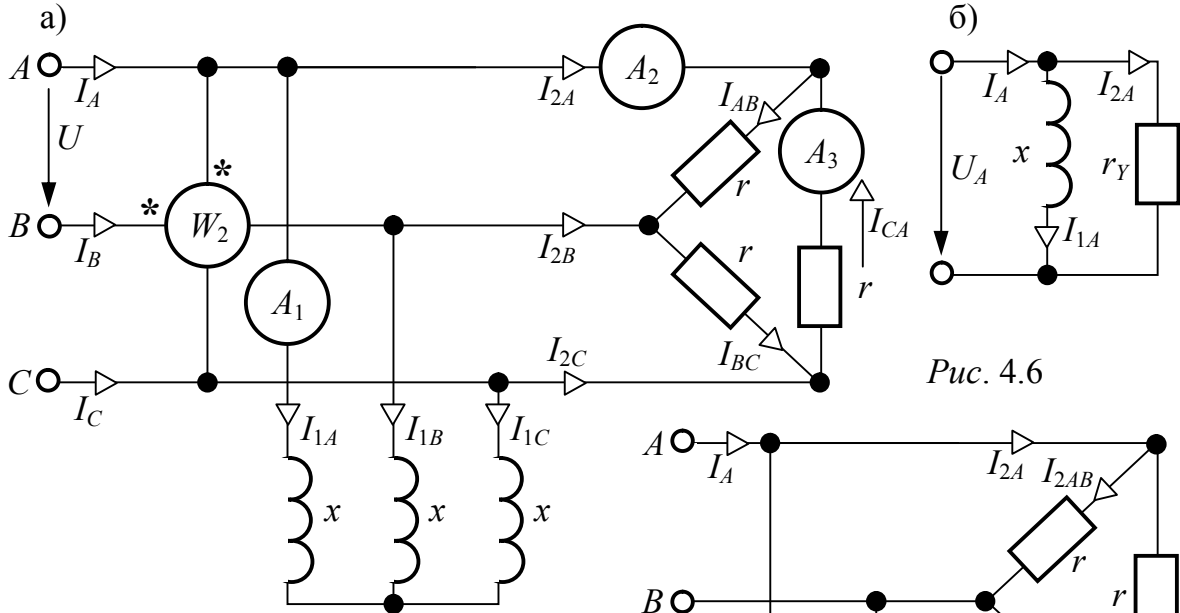


Рис. 4.6

Відмітимо, що для схеми рис. 4.6,а можна побудувати і іншу схему заміщення (рис. 4.7), у якій з'єднання в зірку першого приймача замінене еквівалентним з'єднанням у трикутник, причому

$$Z_\Delta = 3 \cdot Z_Y = 3 \cdot j44 = j132 \text{ Oм.}$$

Режим роботи кожного з паралельно увімкнених трикутників розраховується окремо: при фазній напрузі $U_A = 220 \text{ В}$, (див. вище)

лінійна напруга $\underline{U}_{AB} = U_A \sqrt{3} e^{j30^\circ} = 380 \cdot e^{j30^\circ} \text{ В}$.

$$\text{Струми } I_{2AB} = \frac{\underline{U}_{AB}}{r} = \frac{380 \cdot e^{j30^\circ}}{76} = 5 \cdot e^{j30^\circ} \text{ А, } I_{2A} = I_{2AB} \sqrt{3} e^{-j30^\circ} = 5\sqrt{3} \text{ А,}$$

$$I_{1AB} = \frac{\underline{U}_{AB}}{Z_\Delta} = \frac{380 \cdot e^{j30^\circ}}{j132} = \frac{5}{\sqrt{3}} \cdot e^{-j60^\circ} \text{ А, } I_{1A} = I_{1AB} \sqrt{3} e^{-j30^\circ} = 5 \cdot e^{-j90^\circ} = -j5 \text{ А}$$

і так далі за текстом, наведеним вище.

ЗАДАЧА 4.5. До джерела з лінійною напругою $U = 660 \text{ В}$ (рис. 4.8,а) через реактори з опором $x_0 = 25 \text{ Ом}$ увімкнені: електродвигун, кожна фаза якого має опір $r = x = 50 \text{ Ом}$ при сполученні зіркою; трифазний масляний конденсатор, який використовується для підвищення коефіцієнта потужності установки, фази якого з'єднані у трикутник і мають опір $x_C = 300 \text{ Ом}$.

Визначити напругу на затискачах двигуна і його потужність. Знайти втрату напруги на реакторах.

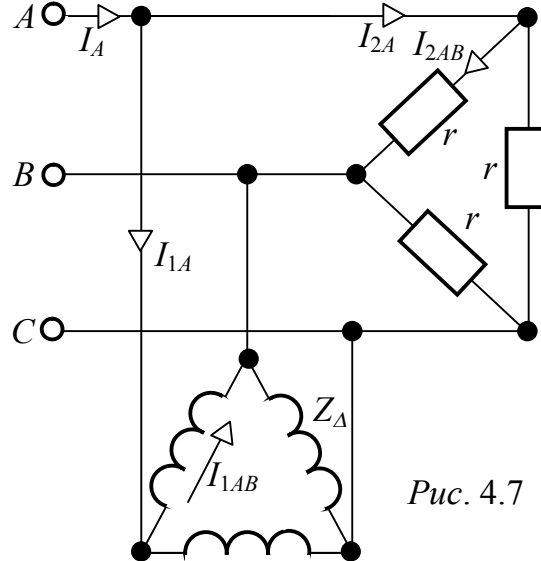


Рис. 4.7

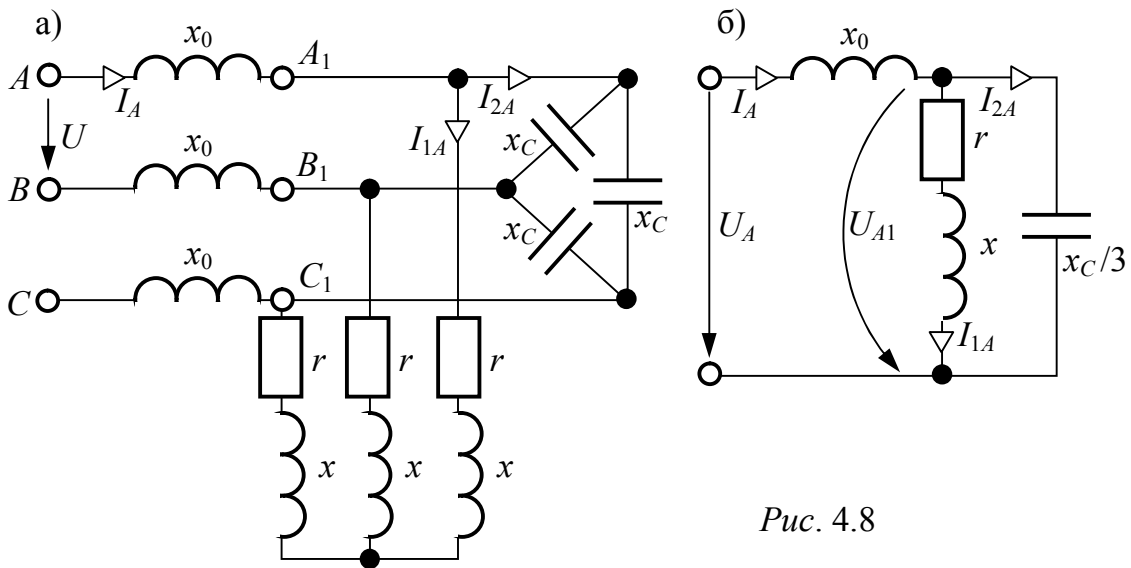


Рис. 4.8

Розв'язання

Розрахунок трифазної системи виконаємо за схемою заміщення для однієї фази (рис. 4.8б).

$$\text{Фазна напруга генератора } U_A = \frac{U}{\sqrt{3}} = \frac{660}{\sqrt{3}} = 380 \text{ В.}$$

Опір еквівалентної симетричному трикутнику зірки

$$x_Y = \frac{x_C}{3} = \frac{300}{3} = 100 \text{ Ом.}$$

Приймемо $\underline{U}_A = U_A = 380 \text{ В}$, тоді

$$\begin{aligned} I_A &= \frac{\underline{U}_A}{jx_0 + \frac{(r+jx)(-jx_Y)}{r+jx-jx_Y}} = \frac{380}{j25 + \frac{(50+j50)(-j100)}{50+j50-j100}} = \frac{380}{j25+100} = \\ &= 3,687 \cdot e^{-j14,04^\circ} \text{ А,} \end{aligned}$$

фазна напруга двигуна

$$\underline{U}_{A1} = I_A \cdot \frac{(r+jx)(-jx_Y)}{r+jx-jx_Y} = 3,687 \cdot e^{-j14,04^\circ} \cdot 100 = 368,7 \cdot e^{-j14,04^\circ} \text{ В.}$$

Лінійна напруга на затисках двигуна (рис. 4.8, а)

$$U_{A1B1} = \sqrt{3} \cdot U_{A1} = \sqrt{3} \cdot 368,7 = 638,6 \text{ В.}$$

Втрата напруги $\Delta U = U_{AB} - U_{A1B1} = 660 - 638,6 = 21,4 \text{ В}$,
що у відсотковому вираженні від напруги мережі складає

$$\Delta U \% = \frac{\Delta U}{U_{AB}} \cdot 100 = \frac{21,4}{660} \cdot 100 = 3,24\%.$$

Відмітимо, що відповідно до Правил технічної експлуатації установок споживачів (ПТЕ) втрата напруги не повинна перевищувати 5%. Таким чином, схема з реакторами для обмеження струмів короткого замикання на затисках споживачів задовільняє ПТЕ щодо допустимої втрати напруги.

$$\text{Струм двигуна } I_{1A} = \frac{\underline{U}_{A1}}{r+jx} = \frac{368,7 \cdot e^{-j14,04}}{50+j50} = 5,215 \cdot e^{-j59,04^\circ} \text{ А.}$$

Активна потужність двигуна

$$P = \sqrt{3} \cdot U_{A1B1} \cdot I_{1A} \cdot \cos(\varphi_1) = 3 \cdot I_{1A}^2 \cdot r = 3 \cdot 5,215^2 \cdot 50 = 4079 \text{ Bm.}$$

ЗАДАЧА 4.6. Напруга джерела симетричної трифазної мережі $U = 380 \text{ V}$ (рис. 4.9). Параметри поданої схеми $Z_1 = 1,5 \text{ } \Omega\text{m}$, $Z_2 = 1 + j2 \text{ } \Omega\text{m}$, $Z_3 = -j6 \text{ } \Omega\text{m}$, $Z_4 = 21 + j12 \text{ } \Omega\text{m}$. Визначити лінійні і фазні струми приймачів. Знайти лінійну і фазну напругу кожного приймача.

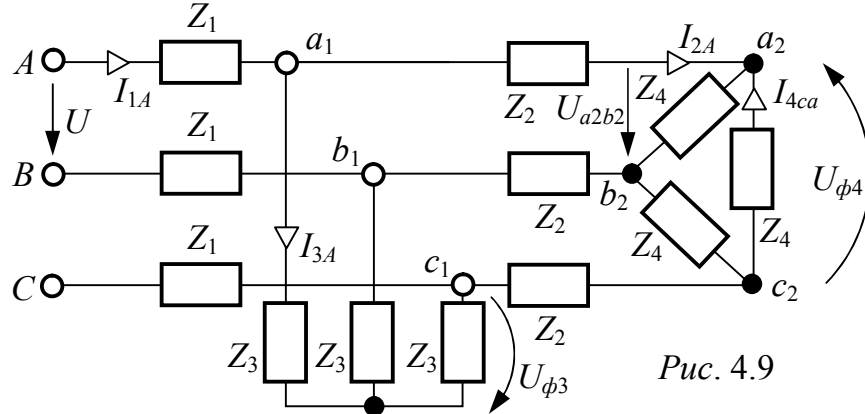


Рис. 4.9

Відповіді: $I_{3A} = 32,4 \text{ A}$; $I_{4ca} = 11,23 \text{ A}$; $I_{2A} = 19,45 \text{ A}$; $I_{1A} = 25,93 \text{ A}$;
 $U_{\phi 3} = 194,5 \text{ V}$; $U_{a1b1} = 337 \text{ V}$; $U_{a2b2} = U_{\phi 4} = 272 \text{ V}$.

ЗАДАЧА 4.7. На шини підстанції підприємства електрична енергія подається від двох трифазних джерел живлення, розташованих в різних географічних точках, через лінії електропередач ЛЕП1 і ЛЕП2 (рис. 4.10).

Лінійні напруги на вході ліній однакові $U_1 = U_2 = 6,3 \text{ kV}$ і зфазовані в режимі неробочого ходу (мають однакові початкові фази відповідних одна одній фаз кола).

Активні і індуктивні опори фаз першої і другої ліній $r_1 = 0,5 \text{ } \Omega\text{m}$, $x_1 = 0,3 \text{ } \Omega\text{m}$, $r_2 = 0,4 \text{ } \Omega\text{m}$, $x_2 = 0,6 \text{ } \Omega\text{m}$.

Номінальна напруга на шинах підстанції $U_n = 6 \text{ kV}$, встановлена потужність двигунів $P_n = 4000 \text{ kW}$ при $\cos\varphi_n = 0,8$ ($\varphi_n > 0$), реактивна потужність статичних конденсаторів $Q_n = 2500 \text{ kvar}$.

Визначити напругу на шинах підстанції, струми ліній, активні, реактивні і повні потужності джерел живлення.

Розв'язання

Побудуємо схему заміщення трифазної системи для однієї фази (рис. 4.11). Фазні ЕРС розрахуємо відповідно до заданої лінійної напруги на початку ліній електропередачі: $E_1 = E_2 = \frac{U_1}{\sqrt{3}} = \frac{6300}{\sqrt{3}} = 3638 \text{ V}$.

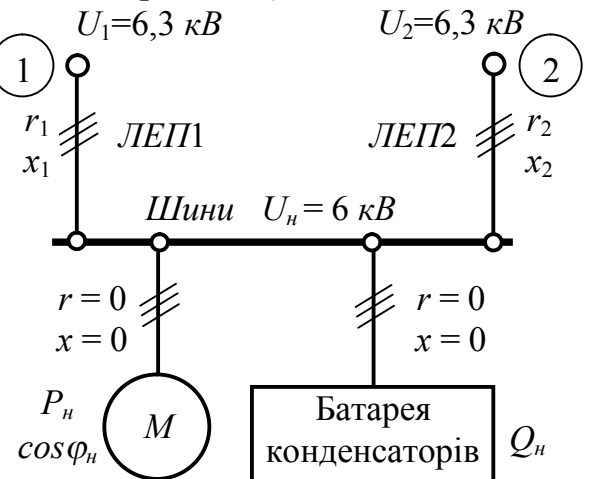


Рис. 4.10

Оскільки ці ЕРС при паралельній роботі ліній зфазовані, то початкові фази у них однакові для відповідних фаз. Приймемо

$\psi_{e1} = \psi_{e2} = 0$,
тоді комплекси ЕРС

$$\underline{E}_1 = \underline{E}_2 = E_1 = 3638 \text{ V.}$$

Комплексні опори
ЛЕП на фазу

$$\underline{Z}_1 = r_1 + jx_1 = 0,5 + j0,3 \text{ Om}, \quad \underline{Z}_2 = r_2 + jx_2 = 0,4 + j0,6 \text{ Om.}$$

Параметри приєднань розрахуємо за номінальними даними.

Для приєднання 3 маємо $P_h = \sqrt{3} \cdot U_h \cdot I_h \cdot \cos \varphi_h$, звідки

$$I_h = \frac{P_h}{\sqrt{3} U_h \cos \varphi_h} = \frac{4000}{\sqrt{3} \cdot 6 \cdot 0,8} = 481 \text{ A};$$

повний опір фази при з'єднанні навантаження в зірку

$$Z_3 = \frac{U_h}{\sqrt{3} I_h} = \frac{6000}{\sqrt{3} \cdot 481} = 7,2 \text{ Om};$$

активний опір фази навантаження $r_3 = Z_3 \cdot \cos \varphi_h = 7,2 \cdot 0,8 = 5,76 \text{ Om}$;

індуктивний опір $x_3 = Z_3 \cdot \sin \varphi_h = Z_3 \cdot \sqrt{1 - \cos^2 \varphi_h} = 7,2 \cdot 0,6 = 4,32 \text{ Om}$;

комплексний опір $\underline{Z}_3 = r_3 + jx_3 = 5,76 + j4,32 = 7,2 \cdot e^{j36,87^\circ} \text{ Om}$.

Для батареї конденсаторів $Q_h = 3 \cdot I_{4h} \cdot x_4 = \sqrt{3} \cdot U_h \cdot I_{4h}$, звідки

$$I_{4h} = \frac{2500}{\sqrt{3} \cdot 6} = 240,6 \text{ A}; \quad x_4 = \frac{U_h}{\sqrt{3} I_{4h}} = \frac{6000}{\sqrt{3} \cdot 240,6} = 14,4 \text{ Om}; \quad \underline{Z}_4 = -jx_4 = -j14,4 \text{ Om}.$$

Розрахунок схеми рис. 4.11 виконаємо методом вузлової напруги.

$$\begin{aligned} \underline{U}_{12} &= \frac{\underline{E}_1 + \underline{E}_2}{\underline{Z}_1^{-1} + \underline{Z}_2^{-1} + \underline{Z}_3^{-1} + \underline{Z}_4^{-1}} = \\ &= 3638 \cdot \frac{\frac{1}{0,5 + j0,3} + \frac{1}{0,4 + j0,6}}{(0,5 + j0,3)^{-1} + (0,4 + j0,6)^{-1} + (-j14,4)^{-1} + (5,76 + j4,32)^{-1}} = \\ &= 3530 - j72,8 = 3531 \cdot e^{-j1,18^\circ} \text{ B}; \end{aligned}$$

$$\underline{I}_1 = \frac{\underline{E}_1 - \underline{U}_{12}}{\underline{Z}_1} = \frac{3638 - 3530 + j72,8}{0,5 + j0,3} = 223,1 + j11,77 = 223,4 \cdot e^{j3,02^\circ} \text{ A};$$

$$\underline{I}_2 = \frac{\underline{E}_2 - \underline{U}_{12}}{\underline{Z}_2} = \frac{3638 - 3530 + j72,8}{0,4 + j0,6} = 166,8 - j65,5 = 180,3 \cdot e^{-j22,23^\circ} \text{ A};$$

$$\underline{I}_3 = \frac{\underline{U}_{12}}{\underline{Z}_3} = \frac{3530 - j72,8}{5,76 + j4,32} = 386,2 - j302,2 = 490,4 \cdot e^{-j38,05^\circ} \text{ A};$$

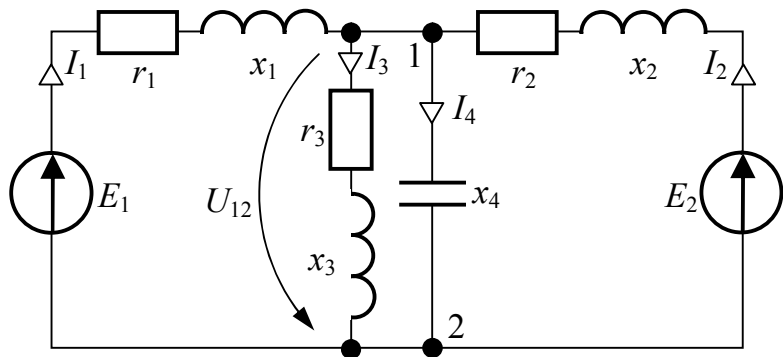


Рис. 4.11

$$I_4 = \frac{U_{12}}{Z_4} = \frac{3530 - j72,8}{-j14,4} = 5 + j245 = 245,1 \cdot e^{j88,1^\circ} A.$$

Лінійна напруга на шинах підстанції

$$U_{12L} = \sqrt{3} U_{12} = \sqrt{3} \cdot 3531 = 6115 \text{ kV}.$$

Струми ліній $I_1 = 223,4 \text{ A}$; $I_2 = 180,3 \text{ A}$.

Комплексні потужності джерел живлення (на вході ЛЕП)

$$\underline{S}_1 = 3 \cdot \underline{E}_1 \cdot \underline{I}_1^* = 3 \cdot 3638 \cdot (223,1 - j11,78) \cdot 10^{-3} = 2435 - j128,5 \text{ kVA},$$

$$\underline{S}_2 = 3 \cdot \underline{E}_2 \cdot \underline{I}_2^* = 3 \cdot 3638 \cdot (166,8 + j65,5) \cdot 10^{-3} = 1685 + j747,5 \text{ kVA},$$

звідки $P_1 = 2435 \text{ kVt}$, $Q_1 = -128,5 \text{ квар}$, $S_1 = 2438 \text{ kVA}$;

$P_2 = 1685 \text{ kVt}$, $Q_2 = 747,5 \text{ квар}$, $S_2 = 1843 \text{ kVA}$.

ЗАДАЧА 4.8. Від Старобешевської електростанції до Донецька (60 км) необхідно передати потужність 3000 кВт при лінійній напрузі у споживача 35 кВ і $\cos\varphi = 0,8$ ($\varphi > 0$), але так, щоб втрати потужності в лінії не перевищували 5% переданої потужності.

Розрахувати і порівняти витрати міді на спорудження однофазної двопровідної і трифазної трипровідної ЛЕП.

Розв'язання

A. Однофазна лінія передачі (рис. 4.12, а)

Дано: проводи мідні, $\gamma = 5,7 \cdot 10^7 \text{ Cm/m}$,
 $l = 2 \cdot 60 \text{ km}$, $g = 8,9 \text{ g/cm}^3$, $U_H = 35 \text{ kV}$,
 $P_H = 3000 \text{ kVt}$, $\cos\varphi = 0,8$, $\Delta P_L = 5\% P_H = 150 \text{ kVt}$.

Потрібно розрахувати вагу міді G , яка необхідна для проводів лінії.

Задача розв'язується за наступним алгоритмом: струм \rightarrow опір \rightarrow переріз проводів \rightarrow вага

$$I = \frac{P_H}{U_H \cdot \cos\varphi} = \frac{3 \cdot 10^6}{35 \cdot 10^3 \cdot 0,8} = 107 \text{ A};$$

$$R = \frac{\Delta P_L}{I^2} = \frac{1,5 \cdot 10^5}{107^2} = 13,1 \text{ Ohm};$$

$$S = \frac{l}{\gamma R} = \frac{120}{5,7 \cdot 10^7 \cdot 13,1} = 161 \cdot 10^{-6} \text{ m} = 161 \text{ mm}^2;$$

$$G_{1\phi} = g \cdot l \cdot S = 8900 \cdot 120 \cdot 10^3 \cdot 161 \cdot 10^{-6} = 172000 \text{ kg} = 172 \text{ t}.$$

B. Трифазна лінія передачі (рис. 4.12, б)

Оскільки навантаження симетричне, виконаємо розрахунок однієї фази:

$$P_\phi = P_H / 3 = 1000 \text{ kVt}, \quad \Delta P_\phi = 50 \text{ kVt}, \quad U_\phi = U_L / \sqrt{3} = 35 / \sqrt{3} = 20,21 \text{ kV}.$$

Далі розрахунок ведемо аналогічно попередньому:

$$I_\phi = 61,9 \text{ A} \rightarrow R = 13,1 \text{ Ohm} \rightarrow S = \frac{60}{5,7 \cdot 10^7 \cdot 13,1} = 80,4 \cdot 10^{-6} \text{ m} = 80,4 \text{ mm}^2;$$

$$G_{3\phi} = 3 \cdot g \cdot 0,5 \cdot l \cdot S = 3 \cdot 8900 \cdot 60 \cdot 10^3 \cdot 80,4 \cdot 10^{-6} = 129000 \text{ kg} = 129 \text{ t}.$$

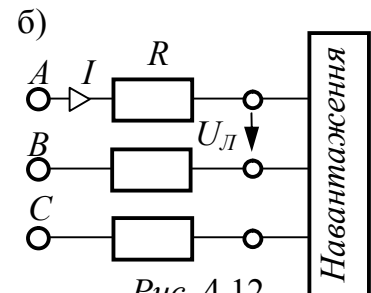
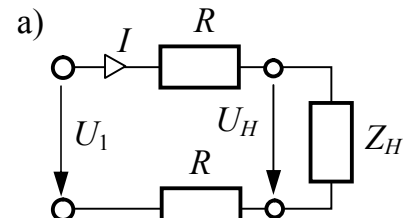


Рис. 4.12

Висновок: за витратами міді на виготовлення лінії передачі трифазна ЛЕП економічніша – $G_{3\phi} = 0,75G_{1\phi}$. Без доказу – на чотирипровідну лінію піде $87,5\%G_{1\phi}$. І ще: «зірка» за витратами міді втричі вигідніша за «трикутник», але це вже через те, що при зірці доведеться працювати на вищій напрузі.

ЗАДАЧА 4.9. Дано: двигун типу АК-52/4, $n = 1375 \text{ об/хв}, 50 \text{ Гц}$, $P_n = 4,5 \text{ кВт}, U_n = 220 \text{ В}, I_n = 17,8 \text{ А}, \cos\varphi = 0,83, \text{ ККД } \eta = 0,8$.

Потрібно визначити опори обмоток двигуна R_ϕ, X_ϕ, Z_ϕ .

Пояснення та розв'язання

Перш за все, слід пам'ятати, що в паспорті електродвигуна вказуються лінійні величини напруги $U_L = U_n$ та струму $I_L = I_n$. Двигун має три однакові фазні обмотки, опори яких і потрібно визначити. Нагадаємо, що двигуни малої потужності випускаються так, що їх обмотки не з'єднані ні у зірку, ні в трикутник. На клемному щитку виведено шість затискачів: початки обмоток A, B, C і кінці X, Y, Z . Щоб отримати вказану потужність двигуна, його обмотки можна з'єднати у зірку при напрузі 380 В (рис. 4.13, а) або у трикутник, якщо в мережі 220 В (рис. 4.13, б).

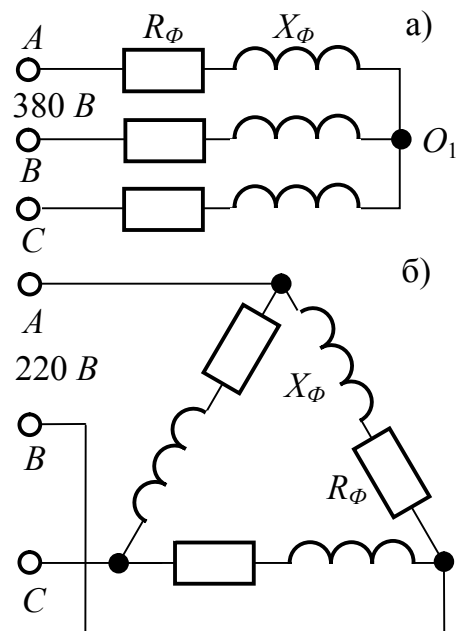


Рис. 4.13

Отже за умовами задачі можна укласти, що в нашому випадку обмотки двигуна з'єднані в трикутник.

Що стосується вказаної потужності P_n , то треба сказати, що це – так звана *відпускова* потужність, тобто потужність на валу у навантаження-споживача, або потужність з урахуванням ще і механічного ККД двигуна.

$$\text{Насправді: } P = \sqrt{3} \cdot U_L \cdot I_L \cdot \cos\varphi = \sqrt{3} \cdot 220 \cdot 17,8 \cdot 0,83 = 5629 \text{ Вт};$$

$$P_n = P \cdot \eta = 5629 \cdot 0,8 = 4504 \text{ Вт}.$$

Тому в паспортних даних вказується або η або I_n .

Параметри обмоток двигуна R_ϕ, X_ϕ, Z_ϕ визначають через розрахункові електричні потужності. При з'єднанні обмоток у трикутник:

$$U_\phi = U_L = 220 \text{ В}, I_\phi = I_L / \sqrt{3} = 10,28 \text{ А}, P_\phi = P / 3 = 5629 / 3 = 1876 \text{ Вт}.$$

Тоді опори обмоток:

$$Z_\phi = \frac{U_\phi}{I_\phi} = \frac{220}{10,28} = 21,4 \text{ Ом};$$

$$R_\phi = \frac{P_\phi}{I_\phi^2} = \frac{1876}{10,28^2} = 17,76 \text{ Ом};$$

$$X_\phi = \sqrt{Z_\phi^2 - R_\phi^2} = \sqrt{21,4^2 - 17,76^2} = 11,95 \text{ Ом}.$$

ЗАДАЧА 4.10. Симетричне навантаження

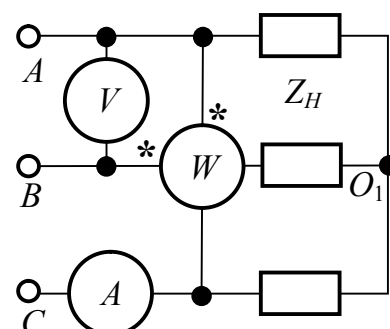


Рис. 4.14

увімкнено до мережі з напругою 380 V (рис. 4.14). Амперметр показує $2,2\text{ A}$. Визначити покази ватметра, якщо: а) $\underline{Z}_H = R_H$; б) $\underline{Z}_H = +jX_H$; в) $\underline{Z}_H = -jX_H$.
Відповіді: а) 0 ; б) -724 Bm ; в) 724 Bm .

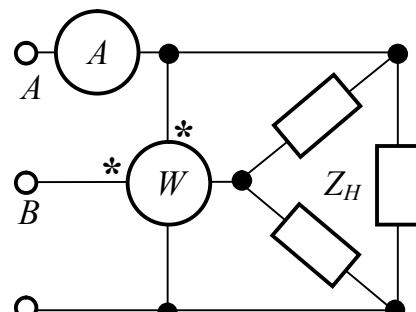
ЗАДАЧА 4.11. Симетричне навантаження $Z_H = 10 \cdot e^{j45^\circ} \Omega$ увімкнене до симетричного генератора (рис. 4.15). Визначити показ ватметра, якщо амперметр показує $17,3 A$.

Відповідь: – 122,5 Bm.

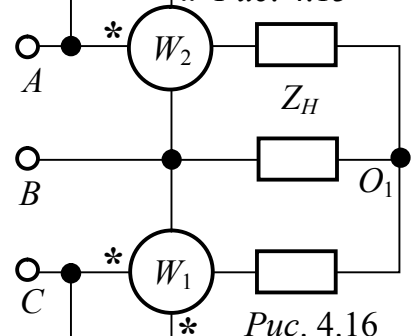
ЗАДАЧА 4.12. Для визначення параметрів симетричного трифазного навантаження можна скористатися схемою Арона (схема увімкнення двох однофазних ватметрів для виміру активної потужності трифазного трипровідного кола) (рис. 4.16).

При $U_L = 220 \text{ В}$ покази ватметрів: $P_{W1} = 2128 \text{ Вт}$, $P_{W2} = 570 \text{ Вт}$. Визначити комплекс опору навантаження Z_H .

Відповідь: $Z_H = 9 + j9 \text{ } \Omega$.



C * Pyc. 4.15

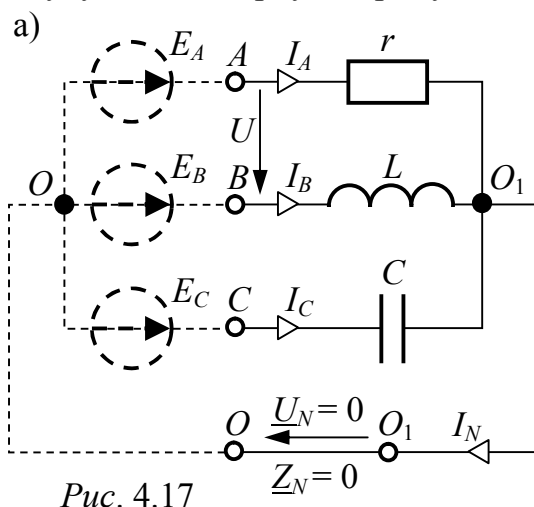


Pyc 4.16

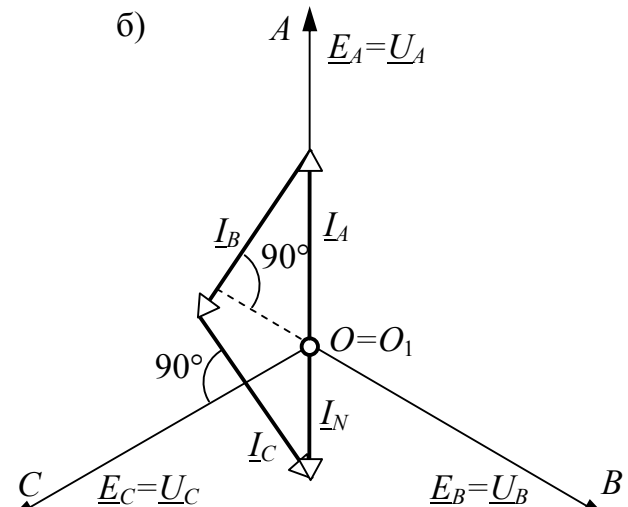
4.3 РОЗРАХУНОК НЕСИМЕТРИЧНИХ ТРИФАЗНИХ КЛІ

ЗАДАЧА 4.13. Визначити струми у чотирипровідному колі (рис. 4.17,а) і напруги на фазах несиметричного приймача, який увімкнений в симетричну трифазну мережу з напругою $U = 380 \text{ B}$, якщо $r = \omega L = \frac{1}{\omega C} = 44 \text{ Oм}$.

Знайти активну і реактивну потужності несиметричного приймача, побудувати векторну діаграму.



Pyc. 4.17



Розв'язання

За умовчанням вважаємо, що фази симетричного генератора з'єднані у зірку з виведеною нульовою точкою O (на рис. 4.17,а показано штриховими лініями). Оскільки опір нульового проводу $Z_N = 0$, то потенціали

$$\varphi_0 = \varphi_{01} \text{ i } \underline{U}_N = \underline{\varphi}_0 - \underline{\varphi}_{01} = 0.$$

У цьому випадку фазні напруги несиметричного приймача дорівнюють фазним ЕРС симетричного генератора $\underline{U}_A = \underline{E}_A - \underline{U}_N = \underline{E}_A$, аналогічно $\underline{U}_B = \underline{E}_B$, $\underline{U}_C = \underline{E}_C$.

$$\text{Фазна ЕРС } E = \frac{U}{\sqrt{3}} = \frac{380}{\sqrt{3}} = 220 \text{ B.}$$

$$\text{Прийнявши } \underline{E}_A = 220 \text{ B, отримаємо } \underline{E}_B = 220 \cdot e^{-j120^\circ} \text{ B, } \underline{E}_C = 220 \cdot e^{j120^\circ} \text{ B.}$$

$$\text{Комплексні опори фаз } \underline{Z}_A = r, \underline{Z}_B = j\omega L, \underline{Z}_C = -j/(\omega C).$$

$$\text{За законом Ома струми } \underline{I}_A = \frac{\underline{U}_A}{\underline{Z}_A} = \frac{220}{44} = 5 \text{ A;}$$

$$\underline{I}_B = \frac{\underline{U}_B}{\underline{Z}_B} = \frac{220 \cdot e^{-j120^\circ}}{44 \cdot e^{j90^\circ}} = 5 \cdot e^{-j210^\circ} \text{ A; } \underline{I}_C = \frac{\underline{U}_C}{\underline{Z}_C} = \frac{220 \cdot e^{j120^\circ}}{44 \cdot e^{-j90^\circ}} = 5 \cdot e^{j210^\circ} \text{ A;}$$

а за першим законом Кірхгофа

$$\underline{I}_N = \underline{I}_A + \underline{I}_B + \underline{I}_C = 5 \cdot (1 + e^{-j210^\circ} + e^{j210^\circ}) = 5 \cdot (1 - \sqrt{3}) = -3,64 \text{ A.}$$

Активна потужність приймача

$$P = P_A + P_B + P_C = \sum_1^3 I_q^2 r_q = I_A^2 \cdot r = 5^2 \cdot 44 = 1100 \text{ Bm.}$$

Реактивна потужність також визначається як алгебрична сума потужностей трьох фаз приймача

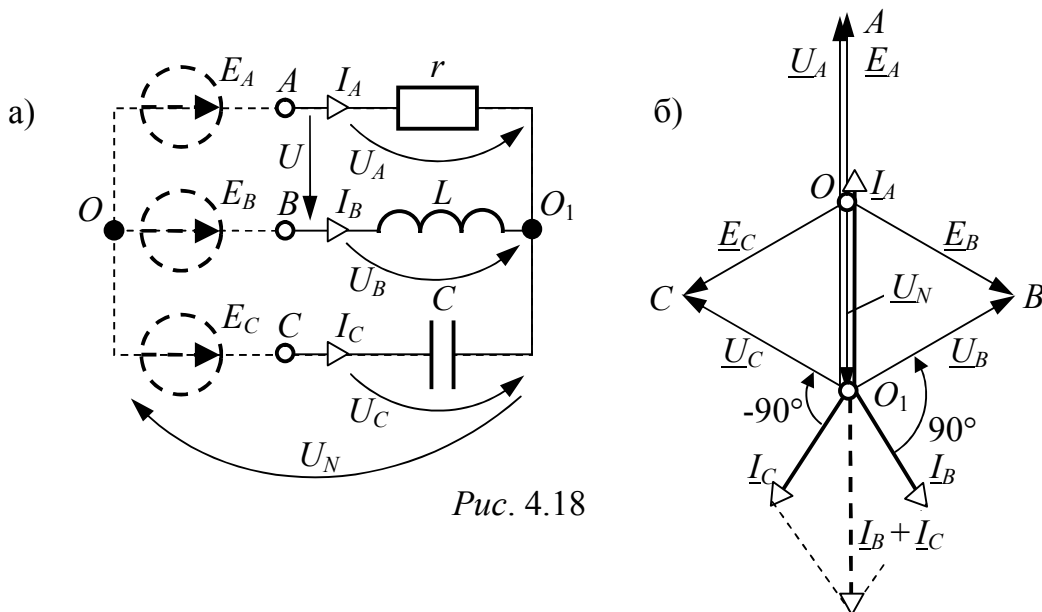
$$Q = Q_A + Q_B + Q_C = \sum_1^3 I_q^2 x_q = I_B^2 \cdot \omega L - I_C^2 \cdot \frac{1}{\omega C} = 5^2 \cdot 44 - 5^2 \cdot 44 = 0.$$

Векторна діаграма кола подана на рис. 4.17,б.

ЗАДАЧА 4.14. Розв'язати задачу 4.13 при розімкненому нульовому проводі.

Розв'язання

Наведемо розрахункову схему установки (рис. 4.18,а).



Розрахуємо вузлову напругу (напруга зміщення нейтралі)

$$\underline{U}_N = \frac{\underline{E}_A + \underline{E}_B + \underline{E}_C}{\underline{Z}_A^{-1} + \underline{Z}_B^{-1} + \underline{Z}_C^{-1}} = 220 \cdot (1 + e^{-j210^\circ} + e^{j210^\circ}) = -160 B.$$

Фазні напруги приймача

$$\underline{U}_A = \underline{E}_A - \underline{U}_N = 220 + 160 = 380 B; \quad U_A = 380 B;$$

$$\underline{U}_B = \underline{E}_B - \underline{U}_N = 220 \cdot e^{-j120^\circ} + 160 = 50 - j190 B; \quad U_B = 196,5 B;$$

$$\underline{U}_C = \underline{E}_C - \underline{U}_N = 220 \cdot e^{j120^\circ} + 160 = 50 + j190 B; \quad U_C = 196,5 B.$$

Фазні струми приймача дорівнюють лінійним

$$I_A = \frac{\underline{U}_A}{\underline{Z}_A} = \frac{380}{44} = 8,64 A; \quad I_A = 8,64 A;$$

$$I_B = \frac{\underline{U}_B}{\underline{Z}_B} = \frac{50 - j190}{j44} = -4,32 - j1,14 A; \quad I_B = 4,47 A;$$

$$I_C = \frac{\underline{U}_C}{\underline{Z}_C} = \frac{50 + j190}{-j44} = -4,32 + j1,14 A; \quad I_C = 4,47 A.$$

Перевірка здійснюється за першим законом Кірхгофа: $I_A + I_B + I_C = 0$, що виконується.

Активна потужність приймача $P = \sum_1^3 P_q = I_A^2 \cdot r = 8,64^2 \cdot 44 = 3285 Bm.$

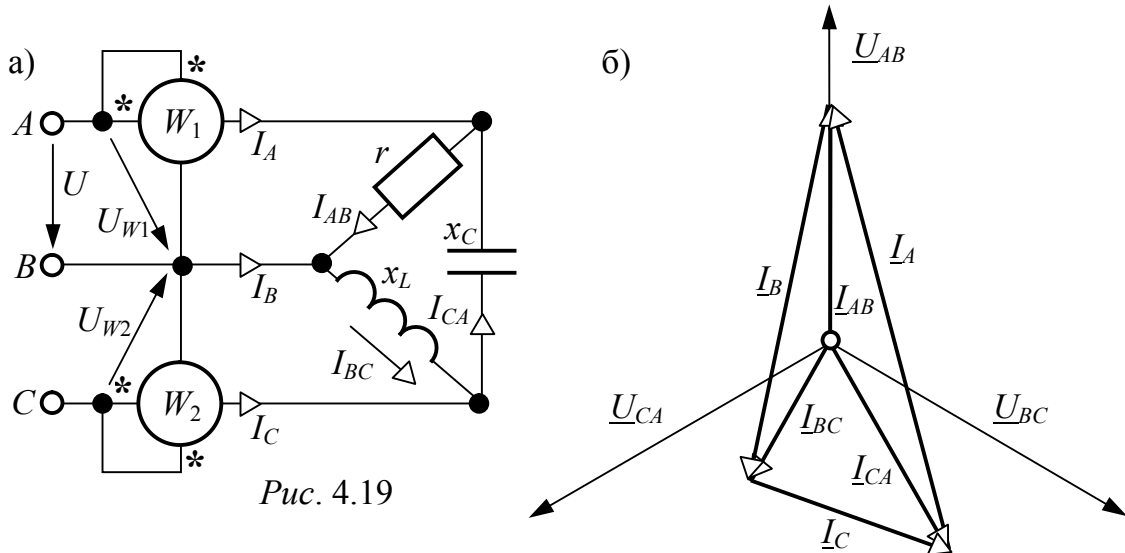
Реактивна потужність

$$Q = \sum_1^3 Q_q = I_B^2 \cdot \omega L - I_C^2 \cdot \frac{1}{\omega C} = 4,47^2 \cdot 44 - 4,47^2 \cdot 44 = 0.$$

ЗАДАЧА 4.15. Розрахувати струми несиметричного трикутника (рис. 4.19, а), побудувати векторну діаграму, якщо

$$U = 380 B, \quad r = x_C = 100 Om, \quad x_L = 100\sqrt{2} Om.$$

Знайти покази ватметрів, порівняти їх з активною потужністю приймача.



Rис. 4.19

Розв'язання

При увімкненні трикутника опорів до трифазного генератора лінійна напруга генератора дорівнює фазній напрузі навантаження.

Приймемо $\underline{U}_{AB} = 380 B$, тоді

$$\underline{U}_{BC} = 380 \cdot e^{-j120^\circ} B, \quad \underline{U}_{CA} = 380 \cdot e^{j120^\circ} B.$$

За законом Ома знаходимо фазні струми трикутника

$$\underline{I}_{AB} = \frac{\underline{U}_{AB}}{\underline{Z}_{AB}} = \frac{380}{100} = 3,8 A; \quad \underline{I}_{BC} = \frac{\underline{U}_{BC}}{\underline{Z}_{BC}} = \frac{380 \cdot e^{-j120^\circ}}{100\sqrt{2}e^{j90^\circ}} = 1,9\sqrt{2} \cdot e^{-j210^\circ} A;$$

$$\underline{I}_{CA} = \frac{\underline{U}_{CA}}{\underline{Z}_{CA}} = \frac{380 \cdot e^{j120^\circ}}{100e^{-j90^\circ}} = 3,8 \cdot e^{j210^\circ} A.$$

Лінійні струми знаходимо за першим законом Кірхгофа

$$\underline{I}_A = \underline{I}_{AB} - \underline{I}_{CA} = 3,8 - 3,8 \cdot e^{j210^\circ} = 3,8 + 3,3 + j1,9 = 7,1 + j1,9 = 7,35 \cdot e^{j15^\circ} A;$$

$$\underline{I}_B = \underline{I}_{BC} - \underline{I}_{AB} = -2,3 + j1,34 - 3,8 = -6,13 + j1,34 = -6,28 \cdot e^{-j12,33^\circ} A;$$

$$\underline{I}_C = \underline{I}_{CA} - \underline{I}_{BC} = -3,3 - j1,9 + 2,33 - j1,34 = -0,97 - j3,24 = -3,38 \cdot e^{j73,33^\circ} A.$$

Векторна діаграма трикутника опорів подана на рис. 4.19,б.

Покази ватметрів

$$P_{W1} = \operatorname{Re}[\underline{U}_{AB} \cdot \underline{I}_A^*] = \operatorname{Re}[380 \cdot (7,1 - j1,9)] = 2698 Bm,$$

$$P_{W2} = \operatorname{Re}[\underline{U}_{CB} \cdot \underline{I}_C^*] = \operatorname{Re}[-380 \cdot e^{-j120^\circ} \cdot (-3,38 \cdot e^{j73,33^\circ})] = -1250 Bm.$$

Активна потужність несиметричного приймача

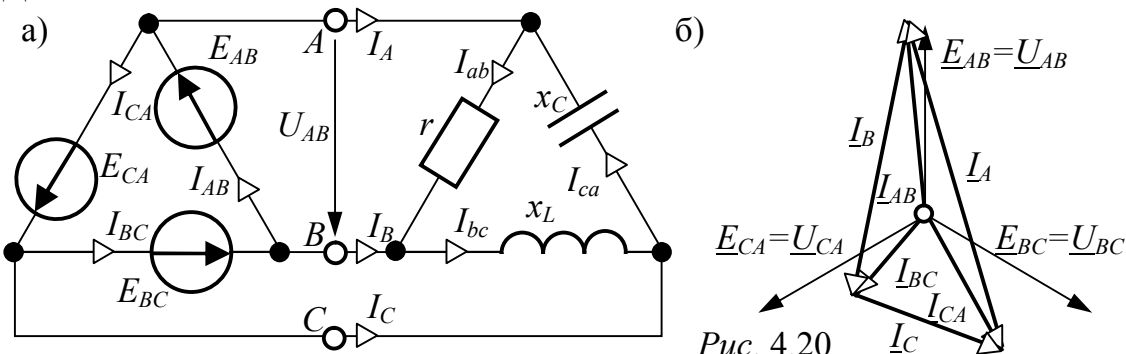
$$P = P_{AB} + P_{BC} + P_{CA} = I_{AB}^2 \cdot r = 3,8^2 \cdot 100 = 1444 Bm.$$

Сума показів двох ватметрів схеми рис. 4.19,а

$$P_{W1} + P_{W2} = 2698 - 1250 = 1448 Bm = P.$$

Таким чином, наведена схема увімкнення двох ватметрів є схемою виміру активної потужності в трифазному трипровідному колі. Розбіжність у четвертому знаку результатів є наслідком округлення чисел.

ЗАДАЧА 4.16. Схема задачі 4.15 живиться від симетричного джерела, фаз якого з'єднані в трикутник. Вважаючи джерело живлення ідеальним (рис. 4.20,а), фазну ЕРС $E_{AB} = 380 B$, знайти фазні струми генератора, побудувати ВД.



Розв'язання

Оскільки внутрішні опори фаз трифазного джерела живлення дорівнюють нулю, то при будь-яких струмах навантаження лінійні напруги

$\underline{U}_{AB} = \underline{E}_{AB} = 380 B$, $\underline{U}_{BC} = \underline{E}_{BC} = 380 \cdot e^{-j120^\circ} B$, $\underline{U}_{CA} = \underline{E}_{CA} = 380 \cdot e^{j120^\circ} B$;
що збігається з лінійними напругами схеми задачі 4.15, на підставі розрахунків якої лінійні струми

$$\underline{I}_A = 7,1 + j1,9 A; \quad \underline{I}_B = -6,13 + j1,34 A; \quad \underline{I}_C = -0,97 - j3,24 A.$$

Для розрахунку фазних струмів генератора складемо систему рівнянь Кірхгофа. За першим законом Кірхгофа для вузлів

$$A) \underline{I}_{AB} - \underline{I}_{CA} = \underline{I}_A; \quad B) \underline{I}_{BC} - \underline{I}_{AB} = \underline{I}_B.$$

Рівняння за другим законом Кірхгофа для контура, що складається з фаз симетричного генератора, запишемо, виходячи з того, що внутрішній опір фази генератора Z може бути будь-яким, але для всіх фаз одинаковий. Отримаємо $\underline{I}_{AB} \cdot Z + \underline{I}_{BC} \cdot Z + \underline{I}_{CA} \cdot Z = \underline{E}_{AB} + \underline{E}_{BC} + \underline{E}_{CA}$.

Для симетричного генератора $\underline{E}_{AB} + \underline{E}_{BC} + \underline{E}_{CA} = 0$, тому

$$Z \cdot (\underline{I}_{AB} + \underline{I}_{BC} + \underline{I}_{CA}) = 0 \text{ при будь-якому внутрішньому опорі } Z.$$

Таким чином, для розрахунку фазних струмів джерела живлення необхідно розв'язати систему рівнянь

$$\begin{cases} \underline{I}_{AB} - \underline{I}_{CA} = \underline{I}_A; \\ \underline{I}_{BC} - \underline{I}_{AB} = \underline{I}_B; \\ \underline{I}_{AB} + \underline{I}_{BC} + \underline{I}_{CA} = 0; \end{cases}$$

звідки з урахуванням $\underline{I}_A + \underline{I}_B + \underline{I}_C = 0$ одержуємо:

$$\underline{I}_{AB} = \frac{\underline{I}_A - \underline{I}_B}{3}; \quad \underline{I}_{BC} = \frac{\underline{I}_B - \underline{I}_C}{3}; \quad \underline{I}_{CA} = \frac{\underline{I}_C - \underline{I}_A}{3}.$$

Для даного прикладу отримуємо:

$$\underline{I}_{AB} = \frac{7,1 + j1,9 + 6,13 - j1,34}{3} = 4,41 + j0,19 A, \quad I_{AB} = 4,41 A;$$

$$\underline{I}_{BC} = \frac{-6,13 + j1,34 + 0,97 + j3,24}{3} = -1,71 + j1,53 A, \quad I_{BC} = 2,3 A;$$

$$\underline{I}_{CA} = \frac{-0,97 - j3,24 - 7,1 - j1,9}{3} = -2,69 - j1,71 A, \quad I_{CA} = 3,19 A.$$

Відзначимо, що фазні струми джерела живлення відрізняються від фазних струмів навантаження, для якого на підставі завдання 4.15 отримано:

$$I_{ab} = 3,8 A; \quad I_{bc} = 2,7 A; \quad I_{ca} = 3,8 A.$$

Векторна діаграма струмів джерела живлення подана на рис. 4.20,б.

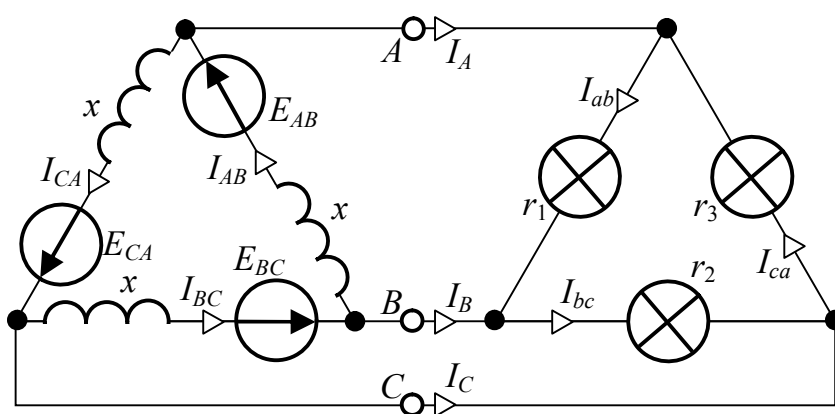


Рис. 4.21

ЗАДАЧА 4.17. Для живлення освітлювального навантаження в небезпечному середовищі (вугільний пил і метан шахт; борошномельний пил млинів; цехи, що оброблюють дерево; лако-фарбні виробництва, тощо) застосовується система трикутник-трикутник (рис. 4.21).

Генератор симетричний, його фазні ЕС $E_{AB} = E_{BC} = E_{CA} = 127 \text{ B}$, а внутрішній опір фази $x = 0,9 \text{ Om}$. Навантаження нерівномірне, причому $r_1 = 2 \text{ Om}$, $r_2 = 3 \text{ Om}$, $r_3 = 5 \text{ Om}$. Розрахувати стан кола.

Розв'язання

Перетворимо активний триполюсник в еквівалентну зірку (рис. 4.22):

$$E_A = E_B = E_C = \frac{E_{AB}}{\sqrt{3}} = \frac{127}{\sqrt{3}} = 73,3 \text{ B},$$

$$x_Y = \frac{x}{3} = \frac{0,9}{3} = 0,3 \text{ Om}.$$

Так само перетворимо і опори навантаження.

$$r_A = \frac{r_1 \cdot r_3}{r_1 + r_2 + r_3} = \frac{2 \cdot 5}{2 + 3 + 5} = 1 \text{ Om};$$

$$r_B = \frac{r_1 \cdot r_2}{r_1 + r_2 + r_3} = \frac{2 \cdot 3}{10} = 0,6 \text{ Om}; \quad r_C = \frac{r_2 \cdot r_3}{r_1 + r_2 + r_3} = \frac{3 \cdot 5}{10} = 1,5 \text{ Om}.$$

Приймемо $\underline{E}_A = 73,3 \text{ B}$, тоді $\underline{E}_B = 73,3 \cdot e^{-j120^\circ} \text{ B}$, $\underline{E}_C = 73,3 \cdot e^{j120^\circ} \text{ B}$.

Вузлова напруга

$$\begin{aligned} \underline{U}_N &= \frac{\frac{\underline{E}_A}{r_A + jx_Y} + \frac{\underline{E}_B}{r_B + jx_Y} + \frac{\underline{E}_C}{r_C + jx_Y}}{\frac{1}{r_A + jx_Y} + \frac{1}{r_B + jx_Y} + \frac{1}{r_C + jx_Y}} = \frac{\frac{73,3}{1 + j0,3} + \frac{73,3 \cdot e^{-j120}}{0,6 + j0,3} + \frac{73,3 \cdot e^{j120}}{1,5 + j0,3}}{\frac{1}{1 + j0,3} + \frac{1}{0,6 + j0,3} + \frac{1}{1,5 + j0,3}} = \\ &= -17,05 \cdot e^{j61,99^\circ} = -8 - j15,05 \text{ B}. \end{aligned}$$

Лінійні струми

$$\underline{I}_A = \frac{\underline{E}_A - \underline{U}_N}{r_A + jx_Y} = \frac{73,3 + 8 + j15,05}{1 + j0,3} = 78,7 - j8,57 \text{ A};$$

$$\underline{I}_B = \frac{\underline{E}_B - \underline{U}_N}{r_B + jx_Y} = \frac{-36,65 - j63,48 + 8 + j15,05}{0,6 + j0,3} = -70,47 - j45,45 \text{ A};$$

$$\underline{I}_C = \frac{\underline{E}_C - \underline{U}_N}{r_C + jx_Y} = \frac{-36,65 + j63,48 + 8 + j15,05}{1,5 + j0,3} = -8,29 + j53,97 \text{ A}.$$

Лінійна напруга \underline{U}_{AB} на навантаженні

$$\begin{aligned} \underline{U}_{AB} &= \underline{I}_A \cdot r_A - \underline{I}_B \cdot r_B = (78,7 - j8,57) \cdot 1 - (-70,47 - j45,45) \cdot 0,6 = \\ &= 121 + j18,7 = 122,4 \cdot e^{j8,79^\circ} \text{ B}. \end{aligned}$$

Фазні струми освітлювального навантаження (рис. 4.21)

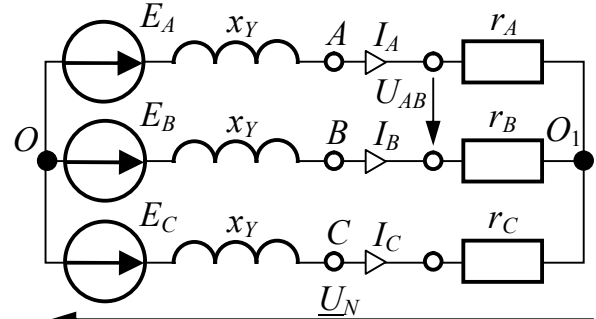


Рис. 4.22

$$\underline{I}_{ab} = \frac{\underline{U}_{AB}}{r_1} = \frac{121 + j18,7}{2} = 60,5 + j9,35 = 61,22 \cdot e^{j8,79^\circ} A;$$

$$\begin{aligned}\underline{I}_{ca} &= \underline{I}_{ab} - \underline{I}_A = 60,5 + j9,35 - 78,7 + j8,57 = -18,2 + j17,92 = 25,54 \cdot e^{j135,44^\circ} A; \\ \underline{I}_{bc} &= \underline{I}_{ab} + \underline{I}_B = 60,5 + j9,35 - 70,47 - j45,45 = -9,97 - j36,1 = 37,45 \cdot e^{-j105,44^\circ} A.\end{aligned}$$

Лінійні напруги

$$U_{BC} = I_{bc} \cdot r_2 = 112,4 B, \quad U_{CA} = I_{ca} \cdot r_3 = 127,7 B.$$

Активна потужність освітлювального навантаження і генератора

$$\begin{aligned}P &= P_{AB} + P_{BC} + P_{CA} = I_{ab}^2 \cdot r_1 + I_{bc}^2 \cdot r_2 + I_{ca}^2 \cdot r_3 = \\ &= 61,22^2 \cdot 1 + 37,45^2 \cdot 3 + 25,54^2 \cdot 5 = 112200 Bm = 112,2 kWm.\end{aligned}$$

Фазні струми джерела живлення (див. задачу 4.17)

$$\underline{I}_{AB} = \frac{\underline{I}_A - \underline{I}_B}{3} = 49,72 + j12,29 = 51,22 \cdot e^{j13,88^\circ} A;$$

$$\underline{I}_{BC} = \frac{\underline{I}_B - \underline{I}_C}{3} = -20,73 - j33,14 = -39,1 \cdot e^{j57,97^\circ} A;$$

$$\underline{I}_{CA} = \frac{\underline{I}_C - \underline{I}_A}{3} = -29 + j20,85 = -35,72 \cdot e^{-j35,71^\circ} A.$$

Реактивна потужність генератора (і всього кола)

$$\begin{aligned}Q &= Q_{AB} + Q_{BC} + Q_{CA} = I_{AB}^2 \cdot x + I_{BC}^2 \cdot x + I_{CA}^2 \cdot x = \\ &= 0,9 \cdot (51,22^2 + 39,1^2 + 35,72^2) = 48850 var = 48,85 kvar.\end{aligned}$$

Повна потужність джерела живлення

$$S = \sqrt{P^2 + Q^2} = \sqrt{112,2^2 + 48,85^2} = 122,4 kW.$$

Коефіцієнт потужності джерела живлення $\cos\varphi = \frac{P}{S} = \frac{112,2}{122,4} = 0,917$.

ЗАДАЧА 4.18. Трифазне коло (рис. 4.23) увімкнене до симетричного генератора з напругою $U = 660 B$. Параметри кола

$$r = \omega L = \frac{1}{\omega C} = 10 \text{ Ohm}, \quad r_1 = \omega L_1 = 5 \text{ Ohm}.$$

Розрахувати лінійні і фазні струми всіх ділянок кола.

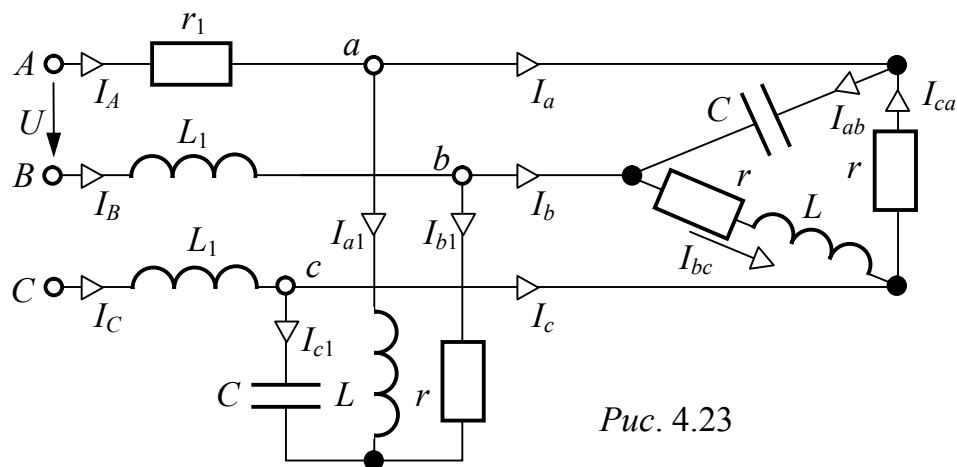


Рис. 4.23

Розв'язання

Спростимо схему за допомогою еквівалентних перетворень.

Спочатку несиметричну зірку замінимо еквівалентним трикутником опорів: $Z_{ab1} = j\omega L + r + \frac{r \cdot j\omega L}{-j\frac{1}{\omega C}} = j10 + 10 + \frac{10 \cdot j10}{-j10} = j10 \text{ Om}$,

$$Z_{bc1} = r - j\frac{1}{\omega C} + \frac{r \cdot \left(-j\frac{1}{\omega C}\right)}{j\omega L} = 10 - j10 + \frac{10 \cdot (-j10)}{j10} = -j10 \text{ Om},$$

$$Z_{ca1} = j\omega L - j\frac{1}{\omega C} + \frac{j\omega L \cdot \left(-j\frac{1}{\omega C}\right)}{r} = j10 - j10 + \frac{j10 \cdot (-j10)}{10} = j10 \text{ Om}.$$

Далі два трикутники опорів виявляються увімкненими паралельно (рис. 4.24,а).

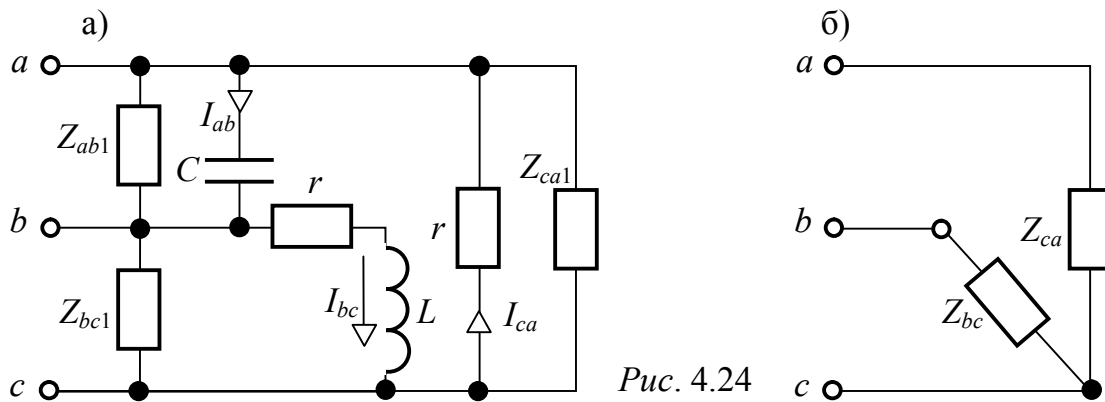


Рис. 4.24

Ці два трикутники можна замінити одним з опорами фаз

$$Z_{ab} = \frac{Z_{ab1} \cdot \left(-j\frac{1}{\omega C}\right)}{Z_{ab1} - j\frac{1}{\omega C}} = \frac{j10(-j10)}{j10 - j10} = \infty, \quad \text{тобто в цьому паралельному контурі}$$

без втрат спостерігається резонанс струмів і вхідний опір цього контура нескінченно великий;

$$Z_{bc} = \frac{Z_{bc1} \cdot (j\omega L + r)}{Z_{bc1} + j\omega L + r} = \frac{-j10(j10 + 10)}{-j10 + j10 + 10} = 10 - j10 \text{ Om};$$

$$Z_{ca} = \frac{Z_{ca1} \cdot r}{Z_{ca1} + r} = \frac{10 \cdot 10}{10 + 10} = 5 \text{ Om}.$$

В результаті одержуємо схему заміщення навантаження, увімкненого на затискачі $a-b-c$, яка представлена на рис. 4.24,б.

Уявимо, що обмотки симетричного трифазного джерела ЕСС сполучені в зірку з ЕРС

$$E = \frac{U}{\sqrt{3}} = \frac{660}{\sqrt{3}} = 380 \text{ B} = E_A.$$

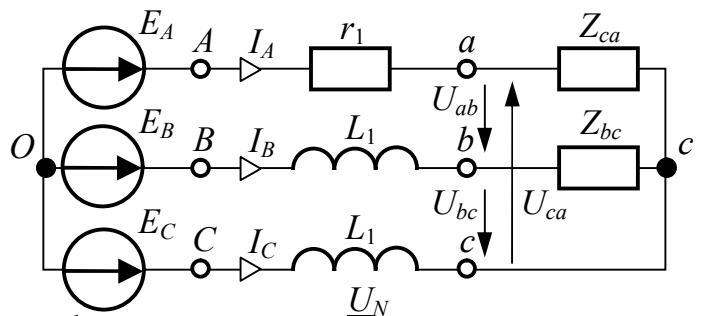


Рис. 4.25

Отримуємо перетворену схему рис. 4.25. Для цієї схеми зміщення нейтралі

$$\begin{aligned} \underline{U}_N &= \frac{\underline{E}_A}{r_1 + \underline{Z}_{ca}} + \frac{\underline{E}_B}{j\omega L_1 + \underline{Z}_{bc}} + \frac{\underline{E}_C}{j\omega L_1} = \frac{380}{5+5} + \frac{380 \cdot e^{-j120}}{j5+10-j10} + \frac{380 \cdot e^{j120}}{j5} = \\ &= \frac{1}{r_1 + \underline{Z}_{ca}} + \frac{1}{j\omega L_1 + \underline{Z}_{bc}} + \frac{1}{j\omega L_1} = \frac{1}{5+5} + \frac{1}{j5+10-j10} + \frac{1}{j5} = \\ &= 200 + j225 \text{ B}. \end{aligned}$$

Лінійні струми генератора

$$\underline{I}_A = \frac{\underline{E}_A - \underline{U}_N}{r_1 + \underline{Z}_{ca}} = \frac{380 - 200 - j225}{5+5} = 18 - j22,5 \text{ A};$$

$$\underline{I}_B = \frac{\underline{E}_B - \underline{U}_N}{j\omega L_1 + \underline{Z}_{bc}} = \frac{-190 - j330 - 200 - j225}{j5+10-j10} = -39 - j55,5 \text{ A};$$

$$\underline{I}_C = \frac{\underline{E}_C - \underline{U}_N}{j\omega L_1} = \frac{-190 + j330 - 200 - j225}{j5} = 21 + j78 \text{ A}.$$

Лінійна напруга на затискачах приймачів на підставі схеми рис. 4.25:

$$\underline{U}_{ab} = \underline{I}_A \cdot \underline{Z}_{ca} - \underline{I}_B \cdot \underline{Z}_{bc} = (18 - j22,5) \cdot 5 - (-39 - j55,5) \cdot (10 - j10) = 1035 + j52,5 \text{ B};$$

$$\underline{U}_{bc} = \underline{I}_B \cdot \underline{Z}_{bc} = (-39 - j55,5) \cdot (10 - j10) = -945 - j165 \text{ B};$$

$$\underline{U}_{ca} = -\underline{I}_A \cdot \underline{Z}_{ca} = -(18 - j22,5) \cdot 5 = -90 + j112,5 \text{ B}.$$

Повертаємося до первинної схеми рис. 4.23 і знаходимо фазні струми трикутника

$$\underline{I}_{ab} = \frac{\underline{U}_{ab}}{-j\frac{1}{\omega C}} = \frac{1035 + j52,5}{-j10} = -5,25 + j103,5 \text{ A};$$

$$\underline{I}_{bc} = \frac{\underline{U}_{bc}}{r + j\omega L} = \frac{-945 - j1655}{10 + j10} = -55,5 + j39 \text{ A};$$

$$\underline{I}_{ca} = \frac{\underline{U}_{ca}}{r} = \frac{-90 + j112,5}{10} = -9 + j11,25 \text{ A}.$$

Лінійні струми трикутника

$$\underline{I}_a = \underline{I}_{ab} - \underline{I}_{ca} = 3,75 + j92,25 \text{ A};$$

$$\underline{I}_b = \underline{I}_{bc} - \underline{I}_{ab} = -50,25 - j64,5 \text{ A};$$

$$\underline{I}_c = \underline{I}_{ca} - \underline{I}_{bc} = 46,5 - j27,75 \text{ A}.$$

Струми приймача, з'єднаного в зірку, розрахуємо за першим законом Кірхгофа:

$$\underline{I}_{a1} = \underline{I}_A - \underline{I}_a = 14,25 - j114,75 \text{ A};$$

$$\underline{I}_{b1} = \underline{I}_B - \underline{I}_b = 11,25 + j9 \text{ A};$$

$$\underline{I}_{c1} = \underline{I}_C - \underline{I}_c = -56,5 + j105,75 \text{ A}.$$

ЗАДАЧА 4.19. У схемі рис. 4.26,а визначити струми у всіх вітках, якщо покази вольтметрів: $U_1 = 220 \text{ B}$, $U_2 = 127 \text{ B}$, $U_3 = 191,3 \text{ B}$, а $\underline{Z}_1 = 3 + j4 \text{ Om}$, $R = 20 \text{ Om}$, $x_L = 30 \text{ Om}$, $x_M = 25 \text{ Om}$, $x_C = 40 \text{ Om}$. Розрахувати покази ватметрів і порівняти їх з тепловими втратами в трикутнику навантаження.

Рекомендується застосувати MathCAD.

Розв'язання

Дано: $U1 := 220$ $U2 := 127$ $U3 := 191,3$ $ORIGIN := 1$ $j := \sqrt{-1}$
 $Z1 := 3 + j4$ $R := 20$ $xL := 30$ $xM := 25$ $xC := 40$

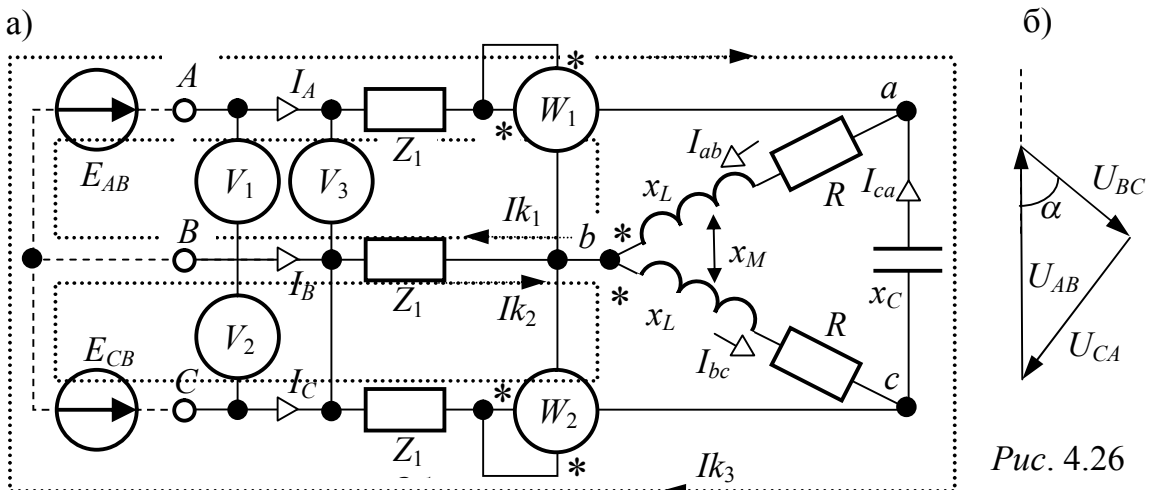


Рис. 4.26

З використанням теореми косинусів та за допомогою якісно векторної діаграми лінійних напруг (рис. 4.26,б) визначимо їх комплекси, спрямував уздовж осі дійсних чисел вектор напруги UAB :

$$\alpha := \text{acos} \left(\frac{U1^2 + U2^2 - U3^2}{2 \cdot U1 \cdot U2} \right) \quad \frac{\alpha}{\text{deg}} = 60.008$$

$$UAB := U1 \quad UBC := U2 \cdot e^{j \cdot (\alpha - \pi)} \quad UCA := -UAB - UBC$$

Перевірка: $|UCA| = 191.3$

Припишемо систему лінійних напруг двом ЕРС (рис. 4.26,а) $E_{AB} = UAB$ і $E_{CB} = -UBC$, а розрахунок струмів в цій схемі виконаємо методом контурних струмів. Визначимо власні і спільні комплексні опори контурів

$$Z11 := 2 \cdot Z1 + R + j \cdot xL \quad Z22 := 2 \cdot Z1 + R + j \cdot xL \quad Z33 := 2 \cdot Z1 - j \cdot xC$$

$$Z12 := -Z1 - j \cdot xM \quad Z23 := Z1 \quad Z23 := Z13$$

Матриці контурних опорів, ЕРС і струмів

$$Zk := \begin{pmatrix} Z11 & Z12 & Z13 \\ Z12 & Z22 & Z23 \\ Z13 & Z23 & Z33 \end{pmatrix} \quad Ek := \begin{pmatrix} UAB \\ UBC \\ -UCA \end{pmatrix} \quad Ik := Zk^{-1} \cdot Ek \quad I_k = \begin{pmatrix} 3.276 - 5.589i \\ 0.351 - 2.624i \\ 3.653 + 2.84i \end{pmatrix}$$

$$\text{Струми у вітках} \quad IA := Ik_1 + Ik_3 \quad IB := Ik_2 - Ik_1 \quad IC := -Ik_2 - Ik_3 \\ Iab := Ik_1 \quad Ibc := Ik_2 \quad Ica := -Ik_3$$

Покази ватметрів

$$Uab := UAB + Z1 \cdot (IB - IA) \quad Ucb := -UBC + Z1 \cdot (IB - IC)$$

$$P1 := \text{Re}(Uab \cdot \overline{IA}) \quad P2 := \text{Re}(Ucb \cdot \overline{IC})$$

Теплові втрати в трикутнику $Pt := R \cdot (|Iab|^2 + |Ibc|^2)$

$$\text{Відповіди} \quad IA = 6.929 - 2.749i \quad IB = -2.925 + 2.965i \quad IC = -4.004 - 0.216i$$

$$Iab = 3.276 - 5.589i \quad Ibc = 0.351 - 2.624i \quad Ica = -3.653 - 2.84i$$

$$P1 = 1.222 \times 10^3 \quad P2 = -242.909 \quad P1 + P2 = 979.437 \quad Pt = 979.437$$

Сума показів ватметрів дорівнює тепловим втратам в трикутнику навантаження. Таким чином, ватметри, які увімкнені за представленаю схемою, вимірюють активну потужність навантаження.

4.4 ОСОБЛИВІ ВИПАДКИ НЕСИМЕТРІЇ В ТРИФАЗНИХ КОЛАХ

Розглядаються прості три- та чотирипровідні кола генератор-приймач

із з'єднанням фаз приймача і генератора в зірку або трикутник. До осібливих випадків несиметрії належать обриви проводів і фаз, короткі замикання фаз, якщо вихідна схема працює в симетричному режимі. У цьому випадку коло перестає бути симетричним, проте має місце ряд осібливостей, які полегшують розрахунок.

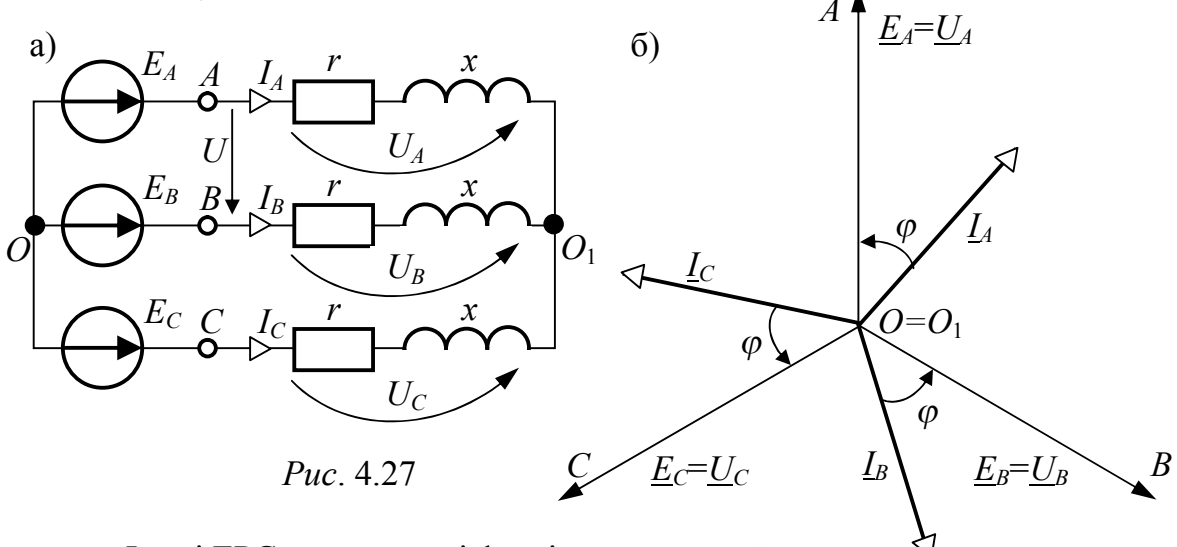
ЗАДАЧА 4.20. Для симетричної трифазної системи «зірка-зірка без нульового проводу» (рис. 4.27, а) розрахувати режими роботи для наступних випадків:

- симетричний режим;
- обрив лінійного проводу A ;
- коротке замикання фази A .

Параметри схеми: $U = 380 B$, $r = x = 20 \Omega$.

Розв'язання

На рис. 4.27, б наведена векторна діаграма **симетричного режиму** системи $Y-Y$. При цьому напруга між нульовими точками симетричної системи $U_N = 0$.



Фазні ЕРС генератора і фазні напруги приймача

$$\underline{E}_A = \underline{U}_A = \frac{U}{\sqrt{3}} = \frac{380}{\sqrt{3}} = 220 B; \quad \underline{E}_B = \underline{U}_B = 220 \cdot e^{-j120^\circ} B; \quad \underline{E}_C = \underline{U}_C = 220 \cdot e^{j120^\circ} B;$$

$$\text{а також струми } \underline{I}_A = \frac{\underline{U}_A}{\underline{Z}} = \frac{220}{20 + j20} = 7,78 \cdot e^{-j45^\circ} A;$$

$$\underline{I}_B = \underline{I}_A \cdot e^{-j120^\circ} = 7,78 \cdot e^{-j165^\circ} A; \quad \underline{I}_C = \underline{I}_A \cdot e^{j120^\circ} = 7,78 \cdot e^{j75^\circ} A$$

утворюють симетричні системи векторів.

При **обриві лінійного проводу A** послідовно з опором цієї фази $\underline{Z} = r + jx = 20 + j20 \Omega$ можна вважати увімкненим додатковий опір обриву $\underline{Z}_{обр} = \infty$, при цьому опір вітки A стає рівним $\underline{Z}_A = \underline{Z}_{обр} + \underline{Z} = \infty$. Напруга зміщення нейтралі

$$\underline{U}_N = \frac{\underline{E}_A + \underline{E}_B + \underline{E}_C}{\underline{Z}_A^{-1} + \underline{Z}^{-1} + \underline{Z}^{-1}} = \frac{\frac{1}{\underline{Z}}(\underline{E}_B + \underline{E}_C)}{\frac{2}{\underline{Z}}} = -\frac{\underline{E}_A}{2} = -\frac{220}{2} = -110 B.$$

При підрахунку враховано, що при обриві проводу A провідність $\frac{1}{Z_A} = \frac{1}{\infty} = 0$, тому відношення $\frac{\underline{E}_A}{Z_A} = \frac{\underline{E}_A}{\infty} = 0$, і в симетричній системі

$$\underline{E}_A + \underline{E}_B + \underline{E}_C = 0, \quad \text{звідки } \underline{E}_B + \underline{E}_C = -\underline{E}_A.$$

Напруга на опорі Z_A $\underline{U}_A = \underline{E}_A - \underline{U}_N = 1,5 \cdot \underline{E}_A = 330 B$ є напругою між точками обриву проводу A , а струм обрваного проводу

$$\underline{I}_A = \frac{\underline{U}_A}{Z_A} = \frac{\underline{U}_A}{\infty} = 0.$$

Напруга і струми неушкоджених фаз

$$\begin{aligned} \underline{U}_B &= \underline{E}_B - \underline{U}_N = 220 \cdot e^{-j120^\circ} + 110 = -j190 B; & \underline{I}_B &= \frac{\underline{U}_B}{Z} = \frac{-j190}{20 + j20} = 6,72 \cdot e^{-j135^\circ} A; \\ \underline{U}_C &= \underline{E}_C - \underline{U}_N = 220 \cdot e^{j120^\circ} + 110 = j190 B; & \underline{I}_C &= \frac{\underline{U}_C}{Z} = \frac{j190}{20 + j20} = 6,72 \cdot e^{j45^\circ} A. \end{aligned}$$

Відмітимо, що при обриві лінійного проводу трифазне коло перетворюється на однофазне, тому струм неушкоджених фаз можна знайти й простіше: $\underline{I}_B = -\underline{I}_C = \frac{\underline{U}_{BC}}{2Z} = \frac{\underline{E}_B - \underline{E}_C}{2Z}$.

Векторна діаграма даної системи $Y-Y$ без нульового проводу при обриві лінійного проводу A подана на рис. 4.28,а.

Порівнюючи напруги і струми неушкоджених фаз при обриві проводу A ($U_B = U_C = 190 B$) і при роботі в симетричному режимі, коли усі напруги $U_A = U_B = U_C = 220 B$, відзначаємо їх зменшення на 13,7%, що неприпустимо для живлення освітлювального навантаження.

Розрахунок схеми при **короткому замиканні фази A** здійснюється за загальним підходом до розрахунку розгалуженого кола з виконанням граничного переходу при $Z_A \rightarrow 0$:

$$\underline{U}_N = \frac{\frac{\underline{E}_A}{Z_A} + \frac{\underline{E}_B}{Z} + \frac{\underline{E}_C}{Z}}{\frac{1}{Z_A} + \frac{1}{Z} + \frac{1}{Z}} = \lim_{Z_A \rightarrow 0} \frac{\frac{\underline{E}_A}{Z_A}}{\frac{1}{Z_A} + \frac{1}{Z}} = \underline{E}_A.$$

Напруга і струми неушкоджених фаз

$$\underline{U}_B = \underline{E}_B - \underline{U}_N = \underline{E}_B - \underline{E}_A = -\underline{U}_{AB} = -380 \cdot e^{j30^\circ} = 380 \cdot e^{-j150^\circ} B;$$

$$\underline{I}_B = \frac{\underline{U}_B}{Z} = \frac{380 \cdot e^{-j150}}{20 + j20} = 13,44 \cdot e^{-j195^\circ} A;$$

$$\underline{U}_C = \underline{E}_C - \underline{U}_N = \underline{E}_C - \underline{E}_A = \underline{U}_{CB} = 380 \cdot e^{j150^\circ} B;$$

$$\underline{I}_C = \frac{\underline{U}_C}{Z} = \frac{380 \cdot e^{j150}}{20 + j20} = 13,44 \cdot e^{j105^\circ} A.$$

Струм короткозамкненої фази

$$\underline{I}_A = \frac{\underline{U}_A}{Z_A} = \frac{\underline{E}_A - \underline{U}_N}{Z_A} = \frac{0}{0} = -(\underline{I}_B + \underline{I}_C) = -\sqrt{3} \underline{I}_C \cdot e^{j30^\circ} = -23,3 \cdot e^{j135^\circ} = 23,3 \cdot e^{-j45^\circ} A.$$

Вираз для \underline{I}_A отримано за умови, що для трипровідної системи

$$\underline{I}_A + \underline{I}_B + \underline{I}_C = 0.$$

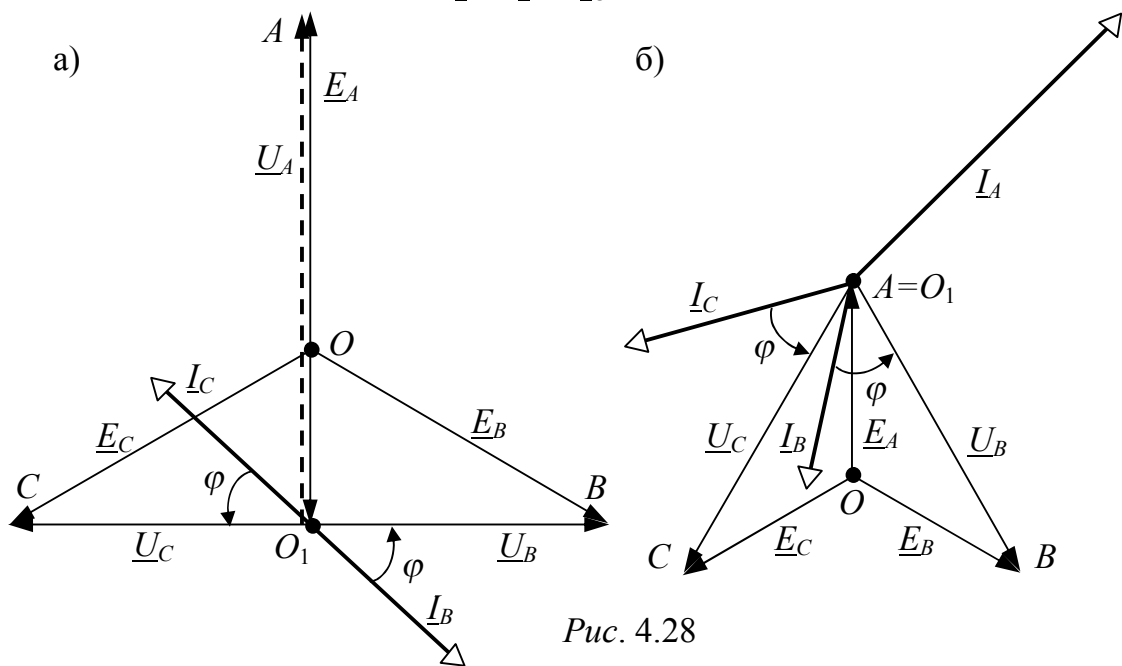


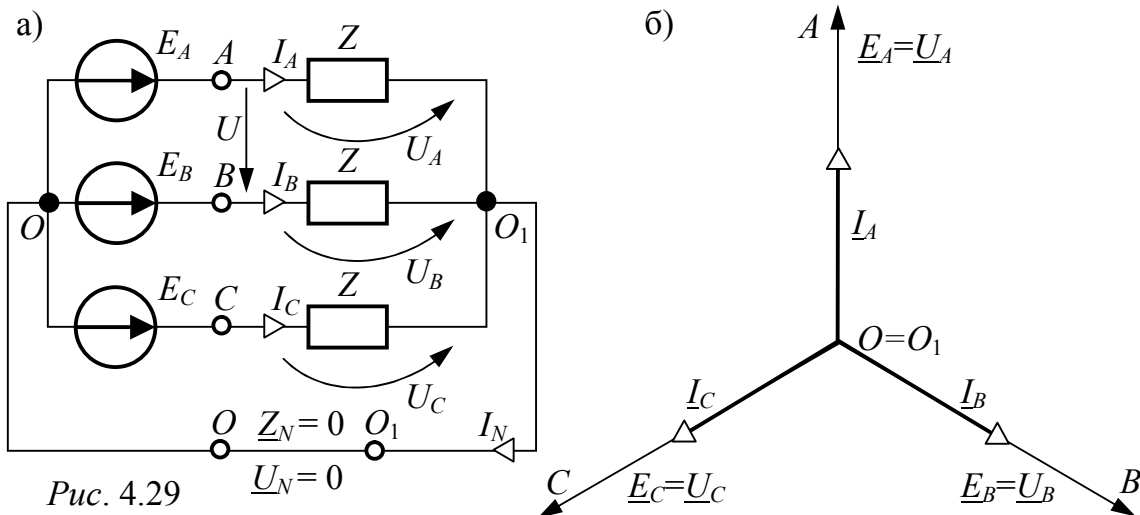
Рис. 4.28

Векторна діаграма кола при короткому замиканні фази A наведена на рис. 4.28,б.

Відзначимо, що у порівнянні з симетричним режимом струм закороченої фази зростає у три рази, а струми інших фаз – в $\sqrt{3}$ раз.

ЗАДАЧА 4.21. Для симетричної системи «зірка-зірка з нульовим проводом» ($Z_N = 0$) (рис. 4.29,а) виконати розрахунки для трьох випадків:

- симетричний режим;
- обрив лінійного проводу B ;
- коротке замикання фази B , якщо: $U = 220 \text{ V}$, $Z = r = 20 \text{ Ohm}$.



Розв'язання

На рис. 4.29,б наведена векторна діаграма для **симетричного режиму** роботи схеми, в якій $U_N = 0$ із-за нульового значення опору Z_N .

При цьому фазні напруги генератора і навантаження однакові і у $\sqrt{3}$ разів менші за лінійні напруги: $U_\phi = E = \frac{U}{\sqrt{3}} = \frac{220}{\sqrt{3}} = 127 B$.

Приймемо $E_A = U_\phi = 127 B$, тоді $E_B = 127 \cdot e^{-j120^\circ} B$, $E_C = 127 \cdot e^{j120^\circ} B$;
 $I_A = \frac{U_A}{Z} = \frac{127}{20} = 6,35 A$; $I_B = I_A \cdot e^{-j120^\circ} = 6,35 \cdot e^{-j120^\circ} A$; $I_C = I_A \cdot e^{j120^\circ} = 6,35 \cdot e^{j120^\circ} A$,

тобто лінійний струм симетричного режиму $I_{sum} = 6,35 A$.

При **обриві лінійного проводу** B можна вважати, що послідовно з опором Z у фазу B додався опір обриву $Z_{obr} = \infty$ і повний опір вітки став

$$Z_B = Z + Z_{obr} = \infty.$$

За другим законом Кірхгофа для контурів «вітка – нульовий провід» отримуємо при обриві проводу B :

$$I_A = \frac{E_A - U_N}{Z} = \frac{E_A}{Z} = \frac{127}{20} = 6,35 A$$

те ж значення, що і при симетричному режимі;

$$I_B = \frac{E_B - U_N}{Z_B} = \frac{E_B}{Z_B} = \frac{E_B}{\infty} = 0;$$

$$I_C = \frac{E_C - U_N}{Z} = \frac{E_C}{Z} = \frac{127 \cdot e^{j120^\circ}}{20} =$$

$= 6,35 \cdot e^{j120^\circ} A$ – те ж значення, що і при симетричному режимі.

Струм нульового проводу

$$I_N = I_A + I_B + I_C = 6,35 + 0 + 6,35 \cdot e^{j120^\circ} = -6,35 \cdot e^{-j120^\circ} = 6,35 \cdot e^{j60^\circ} A.$$

Відмітимо, що $I_N = -I_{Bsum}$. Із цього приводу кажуть, що **нульовий провід сприймає на себе струм обрваної фази**. Векторна діаграма кола при обриві проводу B подана на рис. 4.30.

При **короткому замиканні фази** B у чотиривідній системі струм короткозамкненого контуру $E_B - Z_B - Z_N$ необмежено зростає. Такий режим стає **аварійним**. Для захисту від такого режиму в лінійному проводі B (і в решті лінійних проводів) застосовуються плавкі запобіжники, які вимикають аварійну фазу (перегоряють), після чого схема переходить в режим роботи з обрваною фазою B (рис. 4.29).

ЗАДАЧА 4.22. Розрахувати режим роботи симетричного трикутника (рис. 4.31, а) при $U = 660 B$, $x_C = 100 \Omega$ для чотирьох випадків:

- симетричний режим;
- обрив лінійного проводу C ;
- обрив фази CZ ;
- коротке замикання фази CZ .

Розв'язання

Приймемо $\underline{U}_{AB} = U = 660 \text{ В}$.

При з'єднанні фаз навантаження в трикутник його лінійна напруга дорівнює фазній напрузі. У **симетричному режимі** отримуємо

$$\underline{U}_{AB} = 660 \text{ В}, \quad \underline{U}_{BC} = 660 \cdot e^{-j120^\circ} \text{ В}, \quad \underline{U}_{CA} = 660 \cdot e^{j120^\circ} \text{ В}.$$

$$\text{Фазні струми трикутника} \quad \underline{I}_{AB} = \frac{\underline{U}_{AB}}{Z} = \frac{660}{-j100} = j6,6 = 6,6 \cdot e^{j90^\circ} \text{ А};$$

$$\underline{I}_{BC} = \frac{\underline{U}_{BC}}{Z} = \underline{I}_{AB} \cdot e^{-j120^\circ} = 6,6 \cdot e^{-j30^\circ} \text{ А}; \quad \underline{I}_{CA} = \frac{\underline{U}_{CA}}{Z} = \underline{I}_{AB} \cdot e^{j120^\circ} = 6,6 \cdot e^{j210^\circ} \text{ А}.$$

$$\begin{aligned} \text{Лінійні струми трикутника} \quad & \underline{I}_A = \underline{I}_{AB} - \underline{I}_{CA} = \sqrt{3} \underline{I}_{AB} \cdot e^{-j30^\circ} = 11,4 \cdot e^{j60^\circ} \text{ А}; \\ \underline{I}_B = \underline{I}_A \cdot e^{-j120^\circ} = 11,4 \cdot e^{-j60^\circ} \text{ А}; \quad & \underline{I}_C = \underline{I}_A \cdot e^{j120^\circ} = 11,4 \cdot e^{j180^\circ} = -11,4 \text{ А}. \end{aligned}$$

ВД симетричного трикутника подана на рис. 4.31,б.

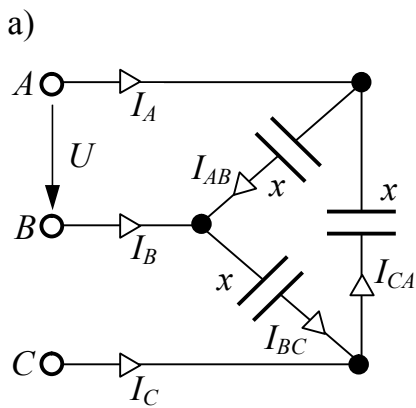
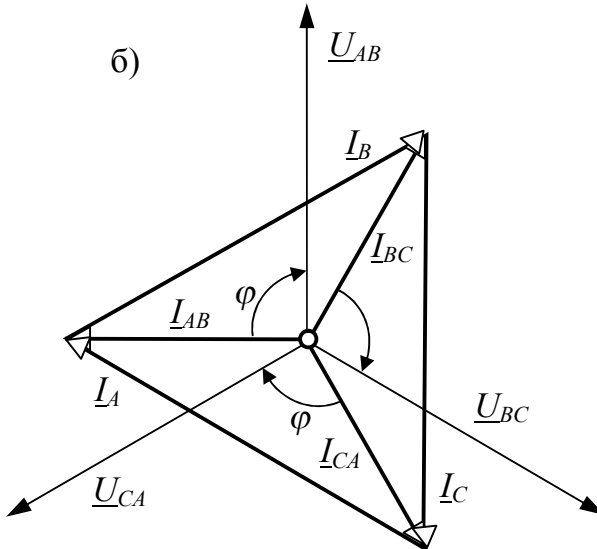


Рис. 4.31

б)



При **обриві лінійного проводу** C всі струми і напруга навантаження визначаються тільки лінійною напругою \underline{U}_{AB} .

Струм $\underline{I}_{AB} = \frac{\underline{U}_{AB}}{Z} = \frac{660}{-j100} = j6,6 \text{ А}$ – саме такий, як і у симетричному режимі.

Струм $\underline{I}_C = 0$, тому що провід C обріваний,

$$\text{струми} \quad \underline{I}_{BC} = \underline{I}_{CA} = -\frac{\underline{U}_{AB}}{2Z} = -\frac{\underline{I}_{AB}}{2} = -j3,3 \text{ А},$$

$$\text{напруги на фазах} \quad \underline{U}_{BC} = \underline{U}_{CA} = \underline{I}_{BC} \cdot Z = -\frac{\underline{U}_{AB}}{2} = -330 \text{ В}.$$

$$\text{Лінійні струми} \quad \underline{I}_A = \underline{I}_{AB} - \underline{I}_{CA} = 1,5 \cdot \underline{I}_{AB} = j9,9 \text{ А};$$

$$\underline{I}_B = \underline{I}_{BC} - \underline{I}_{AB} = -1,5 \cdot \underline{I}_{AB} = -j9,9 \text{ А}.$$

ВД трикутника опорів при обриві лінійного проводу C наведена на рис. 4.32,а.

При **обриві фази** CZ її струм $\underline{I}_{CA} = 0$, а струми фаз $\underline{I}_{AB} = j6,6 \text{ А}$, $\underline{I}_{BC} = 6,6 \cdot e^{-j30^\circ} \text{ А}$ такі ж, як і в симетричному режимі.

$$\text{Лінійні струми:} \quad \underline{I}_A = \underline{I}_{AB} - \underline{I}_{CA} = \underline{I}_{AB} = j6,6 \text{ А},$$

$$\underline{I}_B = \underline{I}_{BC} - \underline{I}_{AB} = 11,4 \cdot e^{-j60^\circ} \text{ А} \text{ той же, що і в симетричному режимі},$$

$$I_C = -I_{BC} = 6,6 \cdot e^{j150^\circ} A.$$

Векторна діаграма кола при обриві фази CZ подана на рис 4.32,б.

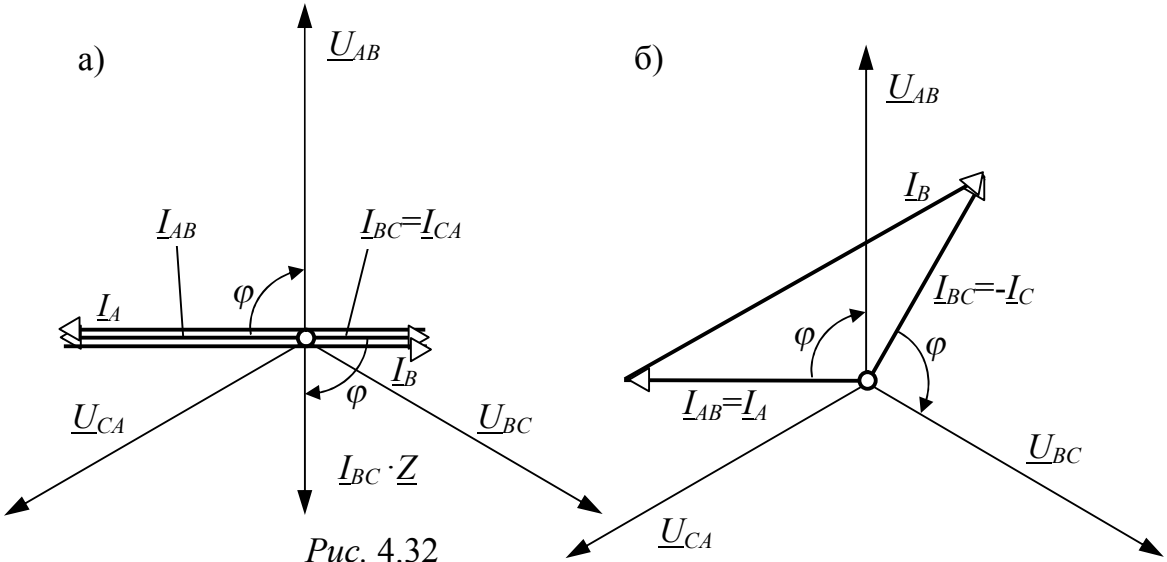


Рис. 4.32

При **короткому замиканні фази CZ** у контурі « A – короткозамкнена фаза CZ – B – джерело живлення» немає опорів, і струм необмежено зростає, створюючи аварійний режим роботи, що вимагає відключення від мережі проводу A або C .

ЗАДАЧА 4.23. Трифазний приймач, фази якого з'єднані в зірку, увімкнений на напругу 380 В. Потужність і коефіцієнт потужності приймача

$$P_n = 11,9 \text{ kW}, \cos\varphi = 0,72.$$

Виконати наступне:

- накреслити схему кола і визначити опір фази приймача Z_H ;
- накреслити схему кола при обриві B -фази, побудувати векторну діаграму і вказати, як зміниться потужність приймача порівняно з номінальною;
- накреслити схему кола при короткому замиканні B -фази, побудувати векторну діаграму і вказати, як зміниться потужність приймача порівняно з номінальною.

Відповіді: $Z_H = 6,3 + j6,1 \Omega$; зменшиться удвічі; зросте удвічі.

ЗАДАЧА 4.24. Трифазний приймач, фази якого з'єднані в трикутник, увімкнений на напругу 220 В. Потужність та коефіцієнт потужності приймача $P_n = 11,9 \text{ kW}$, $\cos\varphi = 0,72$. Виконати наступне:

- накреслити схему кола і визначити опір фази приймача Z_H ;
- накреслити схему кола при обриві фази B , побудувати векторну діаграму і вказати, як зміниться потужність приймача порівняно з номінальною;
- накреслити схему кола при обриві лінійного проводу B , побудувати векторну діаграму і вказати, як зміниться потужність приймача порівняно з номінальною.

Відповіді: $Z_H = 6,3 + j6,1 \Omega$; зменшиться на одну третину; зменшиться удвічі.

4.5 МЕТОД СИМЕТРИЧНИХ СКЛАДОВИХ

Суть методу полягає в представленні несиметричної системи векторів \underline{A} , \underline{B} , \underline{C} у вигляді суми трьох симетричних систем: прямої \underline{A}_1 , \underline{B}_1 , \underline{C}_1 , що має таку ж послідовність, як і первинні вектори, зворотної \underline{A}_2 , \underline{B}_2 , \underline{C}_2 , що має протилежну послідовність, і нульової послідовності, що складається з трьох одинакових за величиною і напрямом векторів $\underline{A}_0 = \underline{B}_0 = \underline{C}_0$.

Визначення симетричних складових проводиться за формулами:

$$\underline{A}_0 = \frac{1}{3} \cdot (\underline{A} + \underline{B} + \underline{C}), \quad \underline{A}_1 = \frac{1}{3} \cdot (\underline{A} + \underline{a} \cdot \underline{B} + a^2 \cdot \underline{C}), \quad \underline{A}_2 = \frac{1}{3} \cdot (\underline{A} + a^2 \cdot \underline{B} + a \cdot \underline{C}),$$

де $a = e^{j120^\circ}$ – фазний множник.

Опори приймача струмам різних послідовностей називаються опорами прямої (Z_1), зворотної (Z_2) і нульової (Z_0) послідовностей. Для симетричної схеми Y–Y вони мають значення

$$Z_1 = Z_2 = Z, \quad Z_0 = Z + 3Z_N,$$

де Z – опір фази приймача, Z_N – опір нейтралі.

Для асинхронного двигуна характерне таке співвідношення:

$$Z_1 \gg Z_0 \gg Z_2.$$

Розрахунок симетричних кіл з несиметричним джерелом складається з трьох етапів: розкладання заданої несиметричної системи на симетричні складові; розрахунок струмів кожної з послідовностей окремо; підсумування струмів всіх послідовностей.

Розрахунок аварійних режимів (КЗ, обрив фази) симетричних кіл проводиться таким чином: у місці аварії вводяться системи трьох несиметричних напруг $\underline{U}_A - \underline{U}_B - \underline{U}_C$ і трьох несиметричних струмів $\underline{I}_A - \underline{I}_B - \underline{I}_C$. Кожна з цих систем розкладається на симетричні складові $\underline{U}_1 - \underline{U}_2 - \underline{U}_0$, $\underline{I}_1 - \underline{I}_2 - \underline{I}_0$. Далі розглядаються схеми прямої, зворотної і нульової послідовностей, для кожної з яких складаються рівняння, що зв'язують \underline{U}_1 з \underline{I}_1 , \underline{U}_2 з \underline{I}_2 і \underline{U}_0 з \underline{I}_0 . Ще три рівняння складаються для аварійної ділянки, тож їх вигляд визначається типом аварії. Розв'язання цих рівнянь дає \underline{U}_1 , \underline{U}_2 , \underline{U}_0 , \underline{I}_1 , \underline{I}_2 , \underline{I}_0 , через які можуть бути визначені всі величини, що цікавлять нас.

ЗАДАЧА 4.25. Під час з'єднання вторинних обмоток силового трифазного трансформатора невірно були визначені початок і кінець обмотки BY. В результаті з'єднання обмоток у зірку (рис. 4.33, а) система ЕРС набула вигляду рис. 4.33, б.

Знайти симетричні складові представленої несиметричної системи, якщо $E_A = E_B = E_C = 220 \text{ В}$.

Розв'язання

Приймемо $\underline{E}_A = 220 \text{ В}$ (рис. 4.33б), тоді

$$\underline{E}_B = 220 \cdot e^{j60^\circ} \text{ В}, \quad \underline{E}_C = 220 \cdot e^{j120^\circ} \text{ В}.$$

Складова нульової послідовності

$$\underline{E}_0 = \frac{1}{3}(\underline{E}_A + \underline{E}_B + \underline{E}_C) = \frac{1}{3}(220 + 220 \cdot e^{j60^\circ} + 220 \cdot e^{j120^\circ}) = \frac{1}{3} \cdot 440 \cdot e^{j60^\circ} = 146,7 \cdot e^{j60^\circ} \text{ В}.$$

Складова прямої послідовності

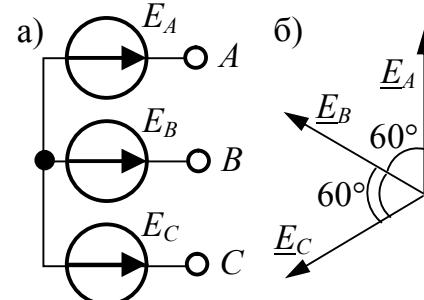


Рис. 4.33

$$\underline{E}_1 = \frac{1}{3} \cdot (\underline{E}_A + a \cdot \underline{E}_B + a^2 \cdot \underline{E}_C), \text{ де } a = e^{j120^\circ}, \text{ звідки}$$

$$\underline{E}_1 = \frac{1}{3} \cdot 220 \cdot (1 + e^{j120^\circ} \cdot e^{-j60^\circ} + e^{-j120^\circ} \cdot e^{j120^\circ}) = \frac{1}{3} \cdot 220 = 73,33 \text{ B.}$$

Складова зворотної послідовності

$$\underline{E}_2 = \frac{1}{3} \cdot (\underline{E}_A + a^2 \cdot \underline{E}_B + a \cdot \underline{E}_C) = \frac{1}{3} \cdot 220 \cdot (1 + e^{-j120^\circ} \cdot e^{j60^\circ} + e^{j120^\circ} \cdot e^{-j120^\circ}) = 146,7 \cdot e^{-j60^\circ} \text{ B.}$$

Перевіримо результат розкладання векторів на симетричні складові:

$$\underline{E}_A = \underline{E}_0 + \underline{E}_1 + \underline{E}_2 = 146,7 \cdot e^{j60^\circ} + 73,33 + 146,7 \cdot e^{-j60^\circ} = 220 \text{ B;}$$

$$\underline{E}_B = \underline{E}_0 + a^2 \cdot \underline{E}_1 + a \cdot \underline{E}_2 = 146,7 \cdot e^{j60^\circ} + 73,33 \cdot e^{-j120^\circ} + 146,7 \cdot e^{-j60^\circ} \cdot e^{j120^\circ} = 220 \cdot e^{j60^\circ} \text{ B;}$$

$$\underline{E}_C = \underline{E}_0 + a \cdot \underline{E}_1 + a^2 \cdot \underline{E}_2 = 146,7 \cdot e^{j60^\circ} + 73,33 \cdot e^{j120^\circ} + 146,7 \cdot e^{-j60^\circ} \cdot e^{-j120^\circ} = 220 \cdot e^{j120^\circ} \text{ B.}$$

Примітка. Оскільки сталося так, що $\underline{E}_2 > \underline{E}_1$, то це означає, що позитивний напрям обертання векторів на комплексній площині змінюється на протилежний, тобто фактично зворотна послідовність стає прямою, а пряма – зворотною. На практиці це означає, що зміниться напрям обертання двигунів.

ЗАДАЧА 4.26. Із-за нерівномірного навантаження в кінці трифазної трипровідної лінії (рис. 4.34, а) напруга утворює прямокутний трикутник (рис. 4.34, б), катети якого $U_{AB} = U_{BC} = 360 \text{ B}$, причому синусоїда лінійної напруги U_{AB} має початкову фазу на $\pi/2$ більшу ніж синусоїда напруги U_{BC} .

Визначити симетричні складові несиметричної системи лінійних напруг. Знайти коефіцієнт несиметрії.

Розв'язання

Приймемо $\underline{U}_{AB} = U_{AB} = 360 \text{ B}$, тоді на підставі рис. 4.34, б

$$\underline{U}_{BC} = \underline{U}_{AB} \cdot e^{-j90^\circ} = 360 \cdot e^{-j90^\circ} \text{ B.}$$

Оскільки лінійні напруги утворюють замкнений контур, то

$$\underline{U}_{AB} + \underline{U}_{BC} + \underline{U}_{CA} = 0, \text{ і}$$

$$\underline{U}_{CA} = -(\underline{U}_{AB} + \underline{U}_{BC}) = -(360 + 360 \cdot e^{-j90^\circ}) = -360 \cdot (1 - j) = 360\sqrt{2} \cdot e^{j135^\circ} \text{ B.}$$

Складова нульової послідовності в лінійних напругах відсутня, оскільки

$$\underline{U}_0 = \frac{1}{3} \cdot (\underline{U}_{AB} + \underline{U}_{BC} + \underline{U}_{CA}) = \frac{1}{3} \cdot 0 = 0.$$

Складова прямої послідовності

$$\underline{U}_1 = \frac{1}{3} \cdot (\underline{U}_{AB} + a \cdot \underline{U}_{BC} + a^2 \cdot \underline{U}_{CA}) = \frac{1}{3} \cdot (360 + e^{j120^\circ} \cdot 360 \cdot e^{-j90^\circ} + e^{-j120^\circ} \cdot 360\sqrt{2} \cdot e^{j135^\circ}) =$$

$$= 388 + j104 = 402 \cdot e^{j15^\circ} \text{ B.}$$

Складова зворотної послідовності

$$\underline{U}_2 = \frac{1}{3} \cdot (\underline{U}_{AB} + a^2 \cdot \underline{U}_{BC} + a \cdot \underline{U}_{CA}) = \frac{1}{3} \cdot 360 \cdot (1 + e^{-j120^\circ} \cdot e^{-j90^\circ} + e^{j120^\circ} \cdot \sqrt{2} \cdot e^{j135^\circ}) =$$

$$= -28 - j104 = 108 \cdot e^{-j105^\circ} \text{ B.}$$

$$\text{Коефіцієнт несиметрії } k_{2U} = \frac{\underline{U}_2}{\underline{U}_1} = \frac{108}{402} = 0,269 \text{ або } k_{2U} = 26,9\%.$$

Відмітимо, що за Правилами технічної експлуатації установок споживачів (ПТЕ) величина несиметрії лінійних напруг (коефіцієнт несиметрії) не повинна перевищувати 4%.

ЗАДАЧА 4.27. До системи напруги задачі 4.26 увімкнений з'єднаний зіркою асинхронний трифазний двигун, кожна фаза якого має опори: при прямому порядку чергування фаз $Z_1 = 8 + j6 \text{ Om}$, для зворотної послідовності – $Z_2 = 4,5 + j1 \text{ Om}$. Знайти струми у фазах двигуна.

Розв'язання

Уявимо, що двигун увімкнений до несиметричного генератора, а обмотки останнього з'єднані в зірку (рис. 4.35,а).

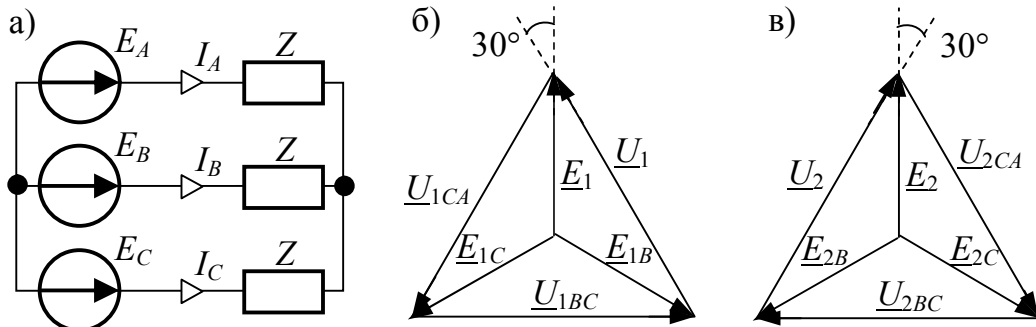


Рис. 4.35

Розрахуємо симетричні складові фазних ЕРС несиметричного генератора, використовуючи раніше знайдені симетричні складові лінійної напруги \underline{U}_1 і \underline{U}_2 та їх співвідношення, представлені на векторних діаграмах рис. 4.35,б

$$\begin{aligned} \text{i 4.35,в: } \underline{E}_1 &= \frac{\underline{U}_1}{\sqrt{3}} \cdot e^{-j30^\circ} = \frac{402 \cdot e^{j15^\circ}}{\sqrt{3}} \cdot e^{-j30^\circ} = 232 \cdot e^{-j15^\circ} \text{ B;} \\ \underline{E}_2 &= \frac{\underline{U}_2}{\sqrt{3}} \cdot e^{j30^\circ} = \frac{108 \cdot e^{-j105^\circ}}{\sqrt{3}} \cdot e^{j30^\circ} = 62,4 \cdot e^{-j75^\circ} \text{ B.} \end{aligned}$$

ЕРС несиметричного генератора виражуються через їх симетричні складові:

$$\begin{aligned} \underline{E}_A &= \underline{E}_1 + \underline{E}_2 = 232 \cdot e^{-j15^\circ} + 62,4 \cdot e^{-j75^\circ} = 268,7 \cdot e^{-j26,60^\circ} \text{ B,} \\ \underline{E}_B &= a^2 \cdot \underline{E}_1 + a \cdot \underline{E}_2 = 232 \cdot e^{-j135^\circ} + 62,4 \cdot e^{j45^\circ} = 169,6 \cdot e^{-j135^\circ} \text{ B,} \\ \underline{E}_C &= a \cdot \underline{E}_1 + a^2 \cdot \underline{E}_2 = 232 \cdot e^{j105^\circ} + 62,4 \cdot e^{-j195^\circ} = 268,7 \cdot e^{j116,6^\circ} \text{ B.} \end{aligned}$$

У результаті проведеного перетворення джерела ЕРС (послідовне з'єднання двох симетричних систем ЕРС – прямої та зворотної послідовностей) схема відносно симетричних складових симетрична і розраховується методом накладання.

Розрахунок струму прямої послідовності:

$$\underline{I}_1 = \frac{\underline{E}_1}{Z_1} = \frac{232 \cdot e^{-j15^\circ}}{8 + j6} = 23,2 \cdot e^{-j51,87^\circ} \text{ A.}$$

Розрахунок струму зворотної послідовності:

$$\underline{I}_2 = \frac{\underline{E}_2}{Z_2} = \frac{62,4 \cdot e^{-j75^\circ}}{4,5 + j1} = 13,54 \cdot e^{-j87,53^\circ} \text{ A.}$$

Струми у фазах двигуна розрахуємо з урахуванням того, що у трифазній трипровідній системі складові струмів нульової послідовності відсутні ($\underline{I}_0 = 0$):

$$\begin{aligned} \underline{I}_A &= \underline{I}_1 + \underline{I}_2 = 23,2 \cdot e^{-j51,87^\circ} + 13,54 \cdot e^{-j87,53^\circ} = 35,10 \cdot e^{-j64,86^\circ} \text{ A,} \\ \underline{I}_B &= a^2 \cdot \underline{I}_1 + a \cdot \underline{I}_2 = 23,2 \cdot e^{-j171,87^\circ} + 13,54 \cdot e^{j32,47^\circ} = 12,22 \cdot e^{j160,95^\circ} \text{ A,} \end{aligned}$$

$$\underline{I}_C = a \cdot \underline{I}_1 + a^2 \cdot \underline{I}_2 = 23,2 \cdot e^{j68,13^\circ} + 13,54 \cdot e^{-j207,53^\circ} = 27,99 \cdot e^{j96,90^\circ} A.$$

ЗАДАЧА 4.28. Двигун задачі 4.27 був увімкнений до симетричного трифазного кола з лінійною напругою $U = 380 V$. У колі стався обрив лінійного проводу C .

Виконати той же розрахунок, що і в задачі 4.27 для нових умов роботи двигуна.

Розв'язання

У симетричному трифазному

Невідоме доки

Рис. 4.36

колі сталося подовжнє порушення симетрії, що може трактуватися як послідовне увімкнення несиметричного приймача з доки невідомими напругами \underline{U}_A , \underline{U}_B , \underline{U}_C та струмами \underline{I}_A , \underline{I}_B , \underline{I}_C . Розрахункова схема нових умов роботи двигуна наведена на рис. 4.36.

Відзначимо, що у фазах невідомого доки підключення можуть міститися як пасивні, так і активні елементи кола.

Виконаємо формальне розкладання несиметричних систем напруг і струмів підключення на симетричні складові.

$$\begin{aligned} \underline{I}_0 &= \frac{1}{3}(\underline{I}_A + \underline{I}_B + \underline{I}_C), & \underline{U}_0 &= \frac{1}{3}(\underline{U}_A + \underline{U}_B + \underline{U}_C), \\ \underline{I}_1 &= \frac{1}{3}(\underline{I}_A + a \cdot \underline{I}_B + a^2 \cdot \underline{I}_C), & \underline{U}_1 &= \frac{1}{3}(\underline{U}_A + a \cdot \underline{U}_B + a^2 \cdot \underline{U}_C), \\ \underline{I}_2 &= \frac{1}{3}(\underline{I}_A + a^2 \cdot \underline{I}_B + a \cdot \underline{I}_C), & \underline{U}_2 &= \frac{1}{3}(\underline{U}_A + a^2 \cdot \underline{U}_B + a \cdot \underline{U}_C). \end{aligned} \quad (4.1)$$

Визначимо симетричні складові заданої системи ЕРС генератора: за умовами задачі вона залишається симетричною, містить тільки складові прямої послідовності при порушенні симетричного стану кола. Симетрична система ЕРС не містить складових зворотної і нульової послідовності, тобто для ЕРС \underline{E}_A , \underline{E}_B , \underline{E}_C отримуємо: $\underline{E}_2 = \underline{E}_0 = 0$; $\underline{E}_1 = \frac{U}{\sqrt{3}} = \frac{380}{\sqrt{3}} = 220 V$.

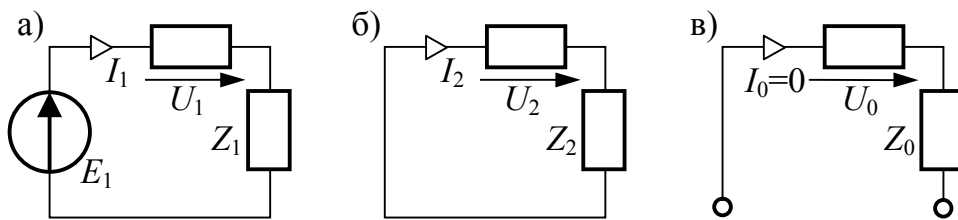


Рис. 4.37

Обрив для
трипровідної схеми

Відносно симетричних складових вся схема стає симетричною і її розрахунок можна вести за схемами заміщення для однієї фази стосовно кожної системи.

Схема заміщення для струму прямої послідовності наведена на рис. 4.37, а, для струму зворотної послідовності – на рис. 4.37, б, для струму нульової послідовності – на рис. 4.37, в.

Відповідно до законів Кірхгофа для схем заміщення отримуємо 3 рівняння для визначення шести невідомих симетричних складових напруг і струмів:

$$\underline{I}_1 \cdot \underline{Z}_1 + \underline{U}_1 = \underline{E}_1; \quad \underline{I}_2 \cdot \underline{Z}_2 + \underline{U}_2 = 0; \quad \underline{I}_0 = 0. \quad (4.2)$$

Рівняння, яких бракує, отримаємо, виходячи з характеристики несиметричної ділянки у відповідності до рис. 4.38 при обриванні лінійного проводу C :

$$\begin{aligned} \underline{U}_A &= 0; \quad \underline{U}_B = 0; \quad \underline{U}_C \neq 0; \\ \underline{I}_A &\neq 0; \quad \underline{I}_B \neq 0; \quad \underline{I}_C = 0. \end{aligned}$$

Три підкреслені рівняння визначені. Перешищемо їх, замінивши \underline{U}_A , \underline{U}_B , \underline{I}_C їх симетричними складовими (поки невідомими):

$$\begin{cases} \underline{U}_A = \underline{U}_0 + \underline{U}_1 + \underline{U}_2 = 0; \\ \underline{U}_B = \underline{U}_0 + a^2 \cdot \underline{U}_1 + a \cdot \underline{U}_2 = 0; \\ \underline{I}_C = \underline{I}_0 + a \cdot \underline{I}_1 + a^2 \cdot \underline{I}_2 = 0. \end{cases} \quad (4.3)$$

З системи (4.1) з урахуванням того, що $\underline{U}_A = 0$, $\underline{U}_B = 0$ отримуємо

$$\underline{U}_0 = \frac{1}{3} \cdot \underline{U}_C, \quad \underline{U}_1 = \frac{1}{3} \cdot a^2 \cdot \underline{U}_C, \quad \underline{U}_2 = \frac{1}{3} \cdot a \cdot \underline{U}_C, \quad \text{звідси} \quad \frac{\underline{U}_1}{\underline{U}_2} = a. \quad (4.4)$$

Врахуємо, що $\underline{I}_0 = 0$. На підставі (4.3) отримуємо $a \cdot \underline{I}_1 + a^2 \cdot \underline{I}_2 = 0$, звідси $\underline{I}_2 = -a^2 \cdot \underline{I}_1$.

Рівняння (4.2), що залишилися, представимо у вигляді $\underline{U}_1 = \underline{E}_1 - \underline{I}_1 \cdot \underline{Z}_1$, $\underline{U}_2 = -\underline{I}_2 \cdot \underline{Z}_2$, звідки з урахуванням (4.4) маємо

$$\frac{\underline{U}_1}{\underline{U}_2} = \frac{\underline{E}_1 - \underline{I}_1 \cdot \underline{Z}_1}{-\underline{I}_2 \cdot \underline{Z}_2} = a, \quad \text{а з урахуванням (4.5)} \quad \frac{\underline{E}_1 - \underline{I}_1 \cdot \underline{Z}_1}{a^2 \underline{I}_1 \cdot \underline{Z}_2} = a.$$

Оскільки $a^3 = 1$, одержуємо $\underline{E}_1 - \underline{I}_1 \cdot \underline{Z}_1 = \underline{I}_1 \cdot \underline{Z}_2$, звідси

$$\underline{I}_1 = \frac{\underline{E}_1}{\underline{Z}_1 + \underline{Z}_2} = \frac{220}{8 + j6 + 4,5 + j1} = 15,4 \cdot e^{-j29,25^\circ} A,$$

$$\underline{I}_2 = -a^2 \cdot \underline{I}_1 = -e^{-j120^\circ} \cdot 15,4 \cdot e^{-j29,25^\circ} = 15,4 \cdot e^{j30,75^\circ} A,$$

$$\underline{I}_0 = 0.$$

Струми у фазах двигуна:

$$\underline{I}_A = \underline{I}_1 + \underline{I}_2 = 15,4 \cdot e^{-j29,25^\circ} + 15,4 \cdot e^{j30,75^\circ} = 26,6 \cdot e^{j0,75^\circ} A,$$

$$\underline{I}_B = a^2 \cdot \underline{I}_1 + a \cdot \underline{I}_2 = 15,4 \cdot e^{-j149,25^\circ} + 15,4 \cdot e^{j150,75^\circ} = 26,6 \cdot e^{-j179,25^\circ} A,$$

$$\underline{I}_C = a \cdot \underline{I}_1 + a^2 \cdot \underline{I}_2 = 15,4 \cdot e^{j90,75^\circ} + 15,4 \cdot e^{-j89,25^\circ} = 0.$$

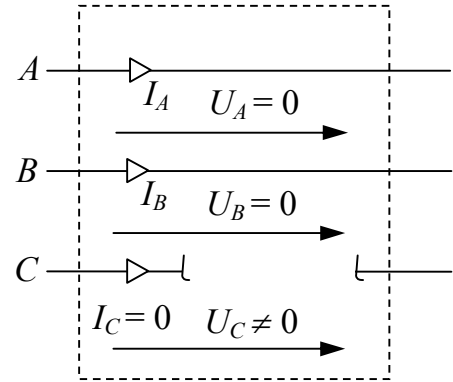


Рис. 4.38